"МИС-РТ"-2025 Сборник № 88-2 http://ikar.udm.ru/mis-rt.htm

Влияние ускоренного вращения тела на другие тела и свет, а также о гравитации

Владимир Александрович Чижов

В.А.Чижов Chijov_va@bk.ru
И.Н. Степанов stepanovigorn@gmail.com

ВВЕДЕНИЕ

Отмечу, что вся представленная работа выполнена в совместном творчестве – Игорем Степановым и Владимиром Чижовым (мной) при широком обсуждении экспериментов, консультациями и оппонированием с В.Н. Зателепиным и Н.В. Самсоненко

В октябре 2024 года нами сделан **краткий** доклад об экспериментах с **торсиндами** на 28-ой конференции ШМ и ХЯС.

Эти эксперименты в течении уже 6-ти лет вызвали интерес не только у нас, как исполнителей, но вызвали живой интерес у научной аудитории данного семинара – Климов А.И., Зателепин В.Н., семинара МГУ – Бычкова В.Л.; Булыженкова И.Э. и Котлового Н.А.

Согласно проведенной экспериментальной работы с **тросиндами**, **для попытки объяснения эффекта действия ускоренного вращения тела на другое тело, а – это чувствительный датчик – торсинд, нами предложена гипотеза, которая отличается от существующих теоретических представлений.**

Суть гипотезы заключается в том, что любое вещественное тело существует благодаря потреблению ЭФИРА, это приводит к возникновению в приповерхностном слое тела градиента ЭФИРНОЙ СРЕДЫ.

Это гипотеза - о влиянии ускоренного вращения тела на градиент ЭФИРА у его поверхности, что влияет на эфир замкнутого объема, где расположены датчики, приводя их (датчики или индикаторы):

– торсинд;

_ лазерный луч;

_ жидкость в капилляре,

в движение.

Предложенная гипотеза вызвала недоверие многих.

Для подтверждения или опровержения нашей гипотезы **в 2025 (этом) году были проведены дополнительные эксперименты.**

О прежних и новых экспериментах сегодня будет не краткий, а расширенный доклад.

Новый наш эксперимент 2025г

по влиянию ускоренного вращения тела на свет лазерного излучения

Для подтверждения или опровержения нашей гипотезы по возникновению градиента эфирной среды у поверхности любого тела - проведены эксперименты с лазерным лучом.

Лазерный луч слабой мощности (5 мВт; $\lambda = 650$ нм - красный) под малым углом отражался от зеркала и к лучу подносился (5 – 15 мм от луча) ускоренно вращающийся диск с развитием оборотов от 4000 до 11000 об/мин за 3 – 4 с. При 7 – 10 кратном повторении действия с таким ускорением диска (параллельно лучу) отраженный луч смещался от первоначального положения.

Необходимо отметить, что вращающий диск был герметично закрыт –это замечание В.Н. Зателепина после первого обсуждения проведенного эксперимента, которое было выполнено.

При положении диска перпендикулярно лучу этот эффект отсутствовал.

Схема эксперимента

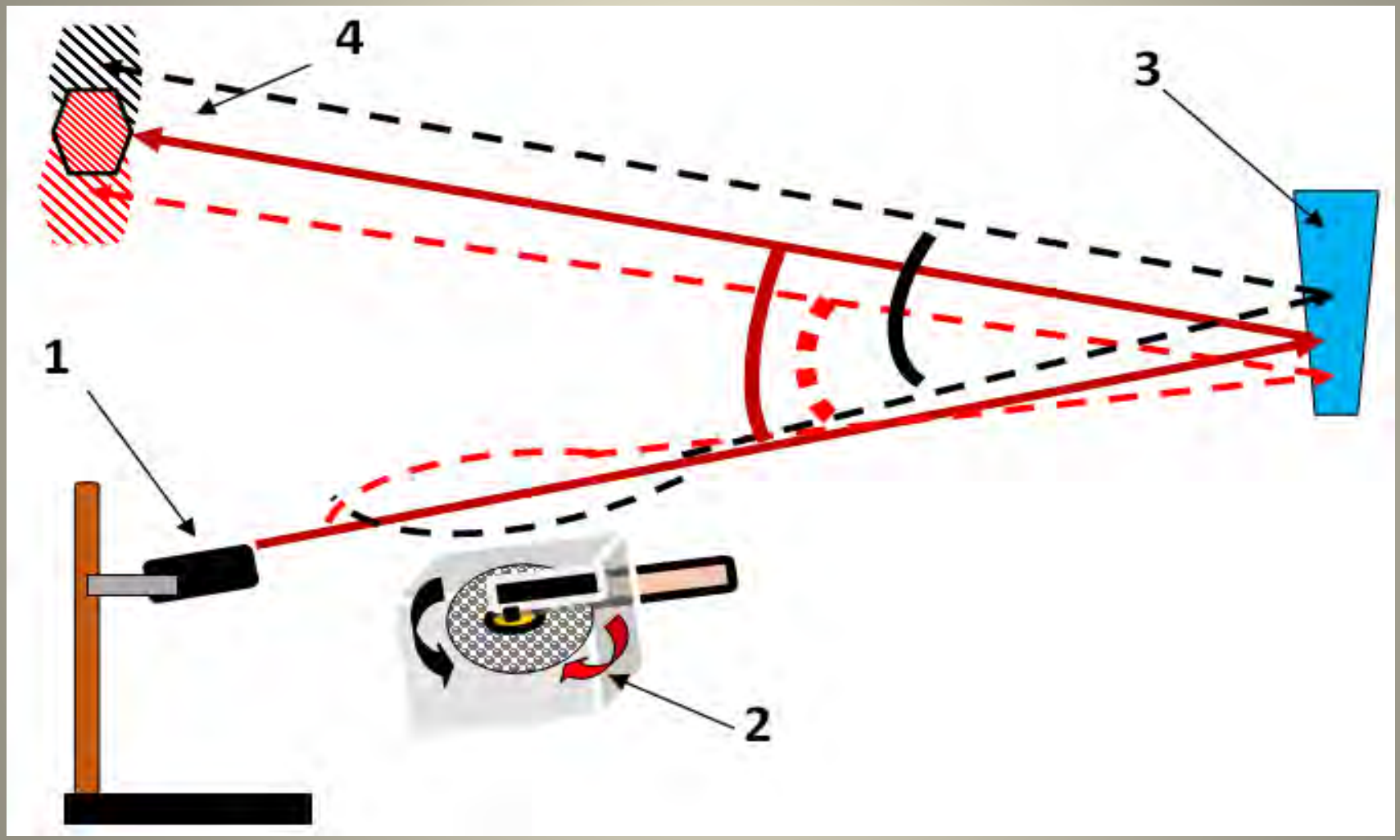

Удивительным оказалось то, что луч отклоняется от центрального положения двояко:

- при ускоренном вращении **по часовой стрелке** лазерный луч «**отталкивается**» от области действия ускоренно вращающегося диска;
- при вращении диска **против часовой стрелки** лазерный луч «**притягивается**» к этой области.

Это говорит об изменении плотности среды в области действия ускоренно вращающегося тела, что приводит к изменению показателя преломления (***n = V/C***).

Еще раз отметим, что диск ускоренного вращения был герметически закрыт.

Эксперименты проводились на 30 метровых (в закрытом помещении) и 90 метровых лучах на открытом воздухе ночью при отсутствии ветра.

РЕЗУЛЬТАТЫ ЭКСПЕРИМЕНТА

при данном ускорении диска и его массе (*35 г*).

1. На 30 метровом луче отклонение от центрального пята составило порядка (+;-) 1.5 см.

$$K_{30} = (+;-)1.5\ 10^{-2}/30 = (+;-)\ 5\ 10^{-4}$$

2. На 90 метровом луче (+;-) 5 - 6 см.

$$K_{90} = (+;-)6\ 10^{-2}/90 = (+;-)\ 6.7\ 10^{-4}$$

Луч порядка 30 метров

Луч порядка 90 метров

Полученные результаты подтверждают нашу гипотезу о существовании градиента эфира у поверхности тела и влиянии на него вращательного момента силы.

.

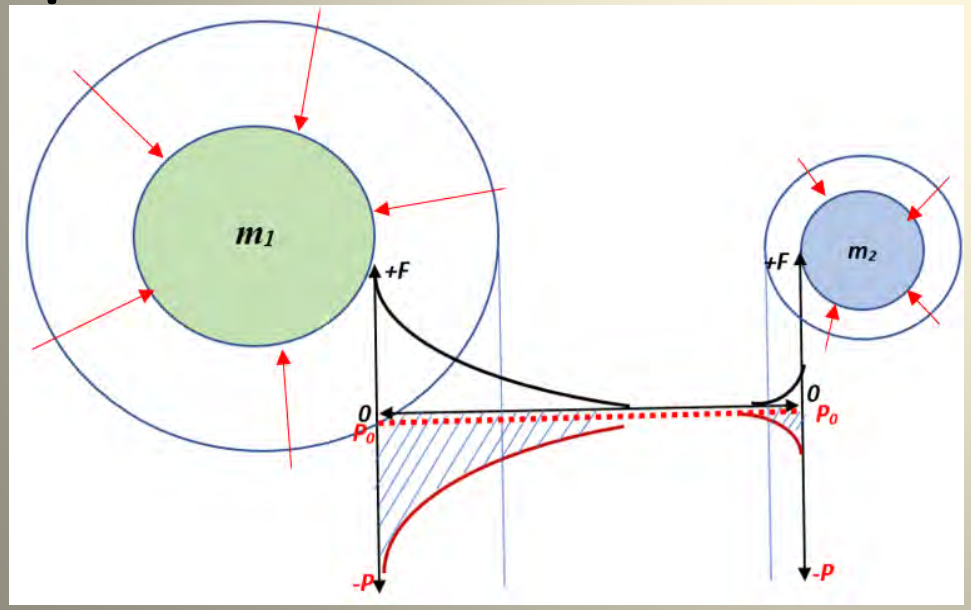

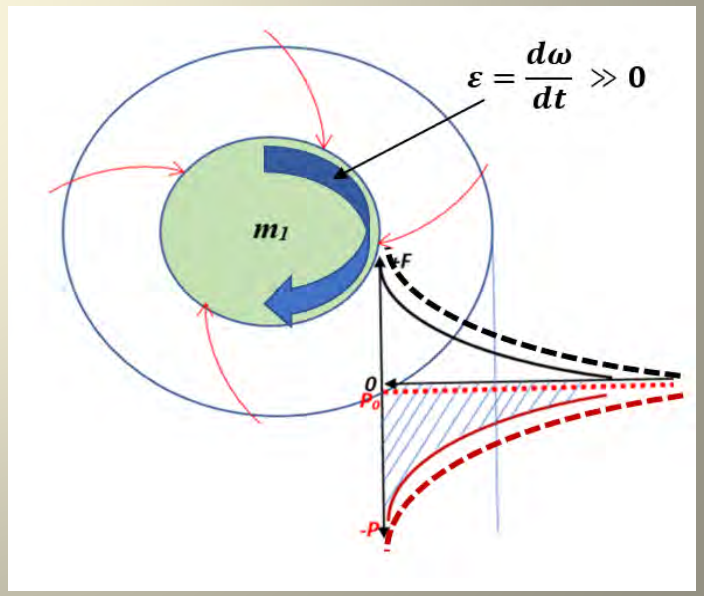

Эксперименты с торсиндом уже доложенные и новые

Схема эксперимента с самовращением ТОРСИНДА при ускоренном вращении объемного диска без их соприкосновений.

Время разгона диска до 9 – 11 000 об/мин 3 – 5 сек.

Периодичность повторения разгона до начала движения ТОРСИНДА как «шестеренки» 10 -15 раз.

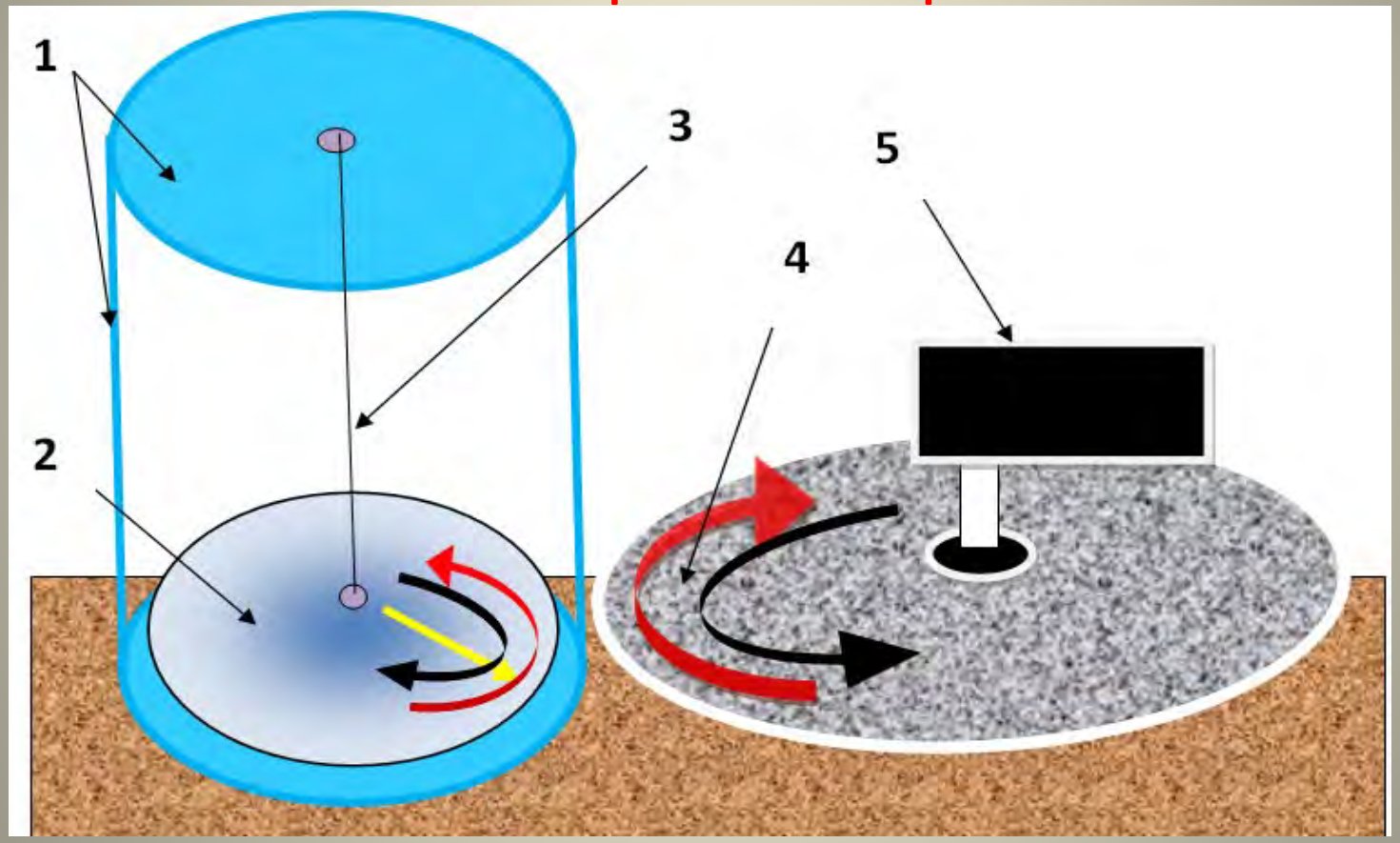

1- стеклянная герметичная колба; 2- ТОРСИНД из Al фольги 14 мкм диаметром 80 и более мм или слюды 15 мкм того же диаметра; 3- паутинка; 4- диск 200 мм корундовый или металл; 5- мотор 350 Вт 11 000 об/мин.

CUT-OFF WHEEL
КРУГ ОТРЕЗНОЙ
2000ml

Схема другого эксперимента. Гироскоп располагался под ТОРСИНДом

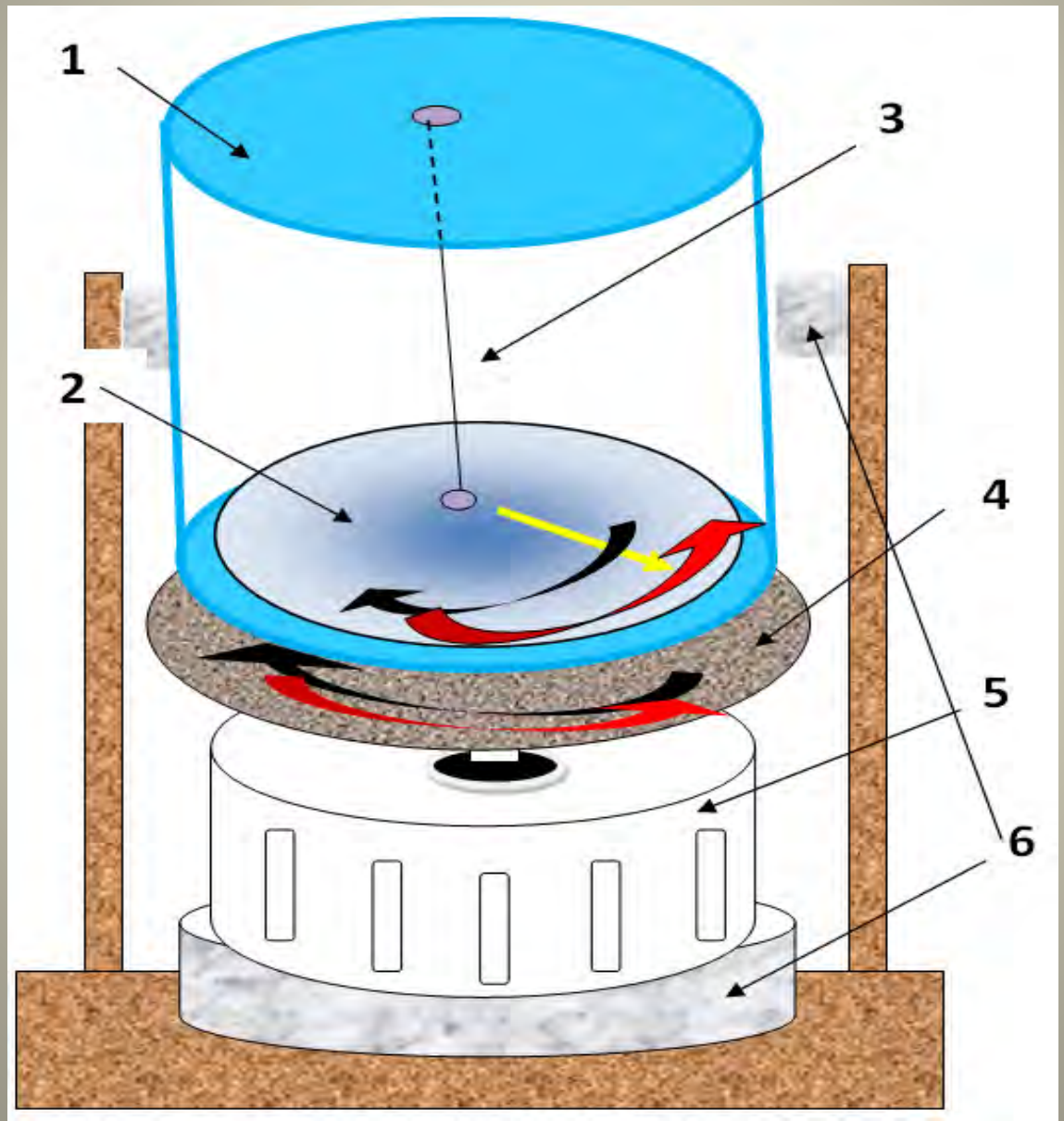

О чувствительности ТОРСИНДОВ

Проверка чувствительности ТОРСИНДОВ (алюминий *H = 14 мкм* диаметром *80мм*, весом не более *0.4 г*, подвешенный на паутине или шелковой нитке; слюде тех же размеров и бумаге):

1. Магнитное поле *2800 мкТл* не действует;
2. Электростатическое поле оказывает существенное влияние на все Торсинды (алюминий, слюда, бумага);
3. Световой белый поток *360 лм 5 Вт* оказывает влияние на все ТОРСИНДЫ, но наиболее сильное на алюминиевый.

Сделана оценка коэффициента передачи (воздействия) при **ускоренном вращении гироскопа** на «Н»-образный торсинд из *AL* и «П»-образный торсинд из слюды, которые были подвешены на очень тонкой синтетике *15-20мкм*.

Для торсинда из *AL – 0.36 г при L= 10-12 см*

$$\gamma = M_T/M_Г = \sim 10^{-5}$$

γ – коэффициент передачи;

$M_T = J\varepsilon = \sim 10^{-9}$ **Нм** - момент силы торсинда от действия гироскопа за *120 с;*

$M_г = J\varepsilon = \sim 10^{-4}$ **Нм** - момент силы гироскопа за *120 с.*

Для торсинда из *слюды – 0.38 г*

$$\gamma = M_T/M_Г = \sim 10^{-6}$$

Математическая оценка. Гироскоп – Торсинг.
Торсинг – „Н-образный"

Гироскоп: „Хенкель"

$m_{гр} = 50г = 5{,}0 \cdot 10^{-2}$ кг
$R_2 = 2см = 2 \cdot 10^{-2}$ м
$t_2 = 120с$
$\omega_2 = 30'000$ об/мин

$\omega = \omega_0 + \varepsilon t$

$\varepsilon_2 = \frac{\omega_2 - \omega_0}{t} = \frac{30'000 \cdot 2\pi}{60с \cdot 120с} =$

$= 25$ рад/с^2

$\varepsilon_2 = ?$ $M_2 = ?$

$M_2 = J \cdot \varepsilon = mR^2 \cdot \varepsilon = 5 \cdot 10^{-2}$ кг $\cdot (2 \cdot 10^{-2}$ м$)^2 \cdot 25$ рад/с$^2 =$

$= 5 \cdot 10^{-4}$ Н м

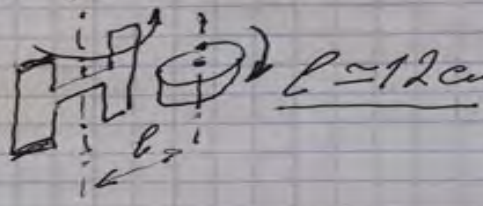

$l = 12см.$

Торсинг: „Н"

$m_т = 0{,}36г. = 3{,}6 \cdot 10^{-4}$ кг
$R_т = 4см = 4 \cdot 10^{-2}$ м
$t = 120с$
$\omega_т = 1$ рад. ($\sim 60°$)

$\varepsilon_т = \frac{\omega_т}{t} = \frac{1 рад}{120с} = 8 \cdot 10^{-3}$ рад/с^2

$M_т = J \cdot \varepsilon = mR^2 = 3{,}6 \cdot 10^{-4} \cdot (4 \cdot 10^{-2})^2 \times$
$\times 8 \cdot 10^{-3} =$

$\varepsilon_т = ?$ $M_т = ?$

$\approx 5 \cdot 10^{-9}$ Н·м.

Тогда коэфициент передачи действия от гироскопа к торсингу:

$K_{передачи} = \frac{M_т}{M_г} = \frac{5 \cdot 10^{-9}}{5 \cdot 10^{-4}} = 1 \cdot 10^{-5}$

Новые эксперименты с торсиндом при откачке атмосферного давления.

Вакуум *1 10^-3* атм.

с *750* мм.рт.ст. до *16* мкм. рт. ст.

Давление 1 атм (750 мм.рт.ст). Гироскоп по часовой стрелке. Угол ~ (-60 град).

$\gamma = 10^{-5}$

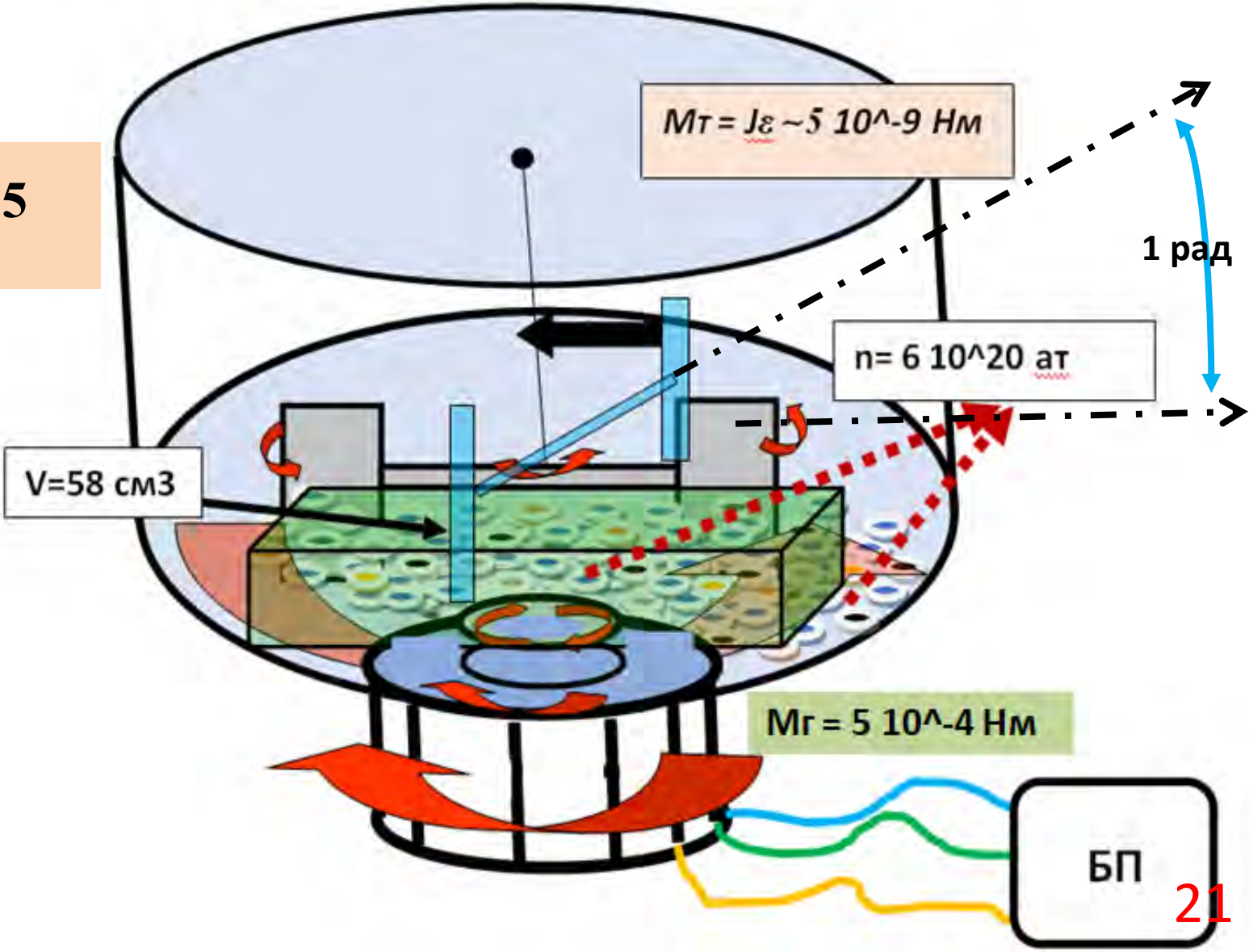

О фантоме

Попытка резко поменять, в противоположную сторону, ускоренное вращение тела у колбы ТОРСИНДа не приводила к изменению движения ТОРСИНДа. Задержка по времени составляла порядка 5 минут, что воспринималось нами как некий ФАНТОМ, который и создает задержку по времени.

Вакуумная схема

Вакуум 1 10^-3 атм (16 мкм). Угол ~ 12 град (0.2 рад)

$\gamma_В$ = Мт/Мг =
= 5 10^ -11/5 10^ -3

$\gamma_В = 10^{-8}$

$\gamma_{Ват}$ = Мт/Мг =
= 2 10^ -14/1 10^ -3

$\gamma_{Ват} = 2\ 10^{-11}$

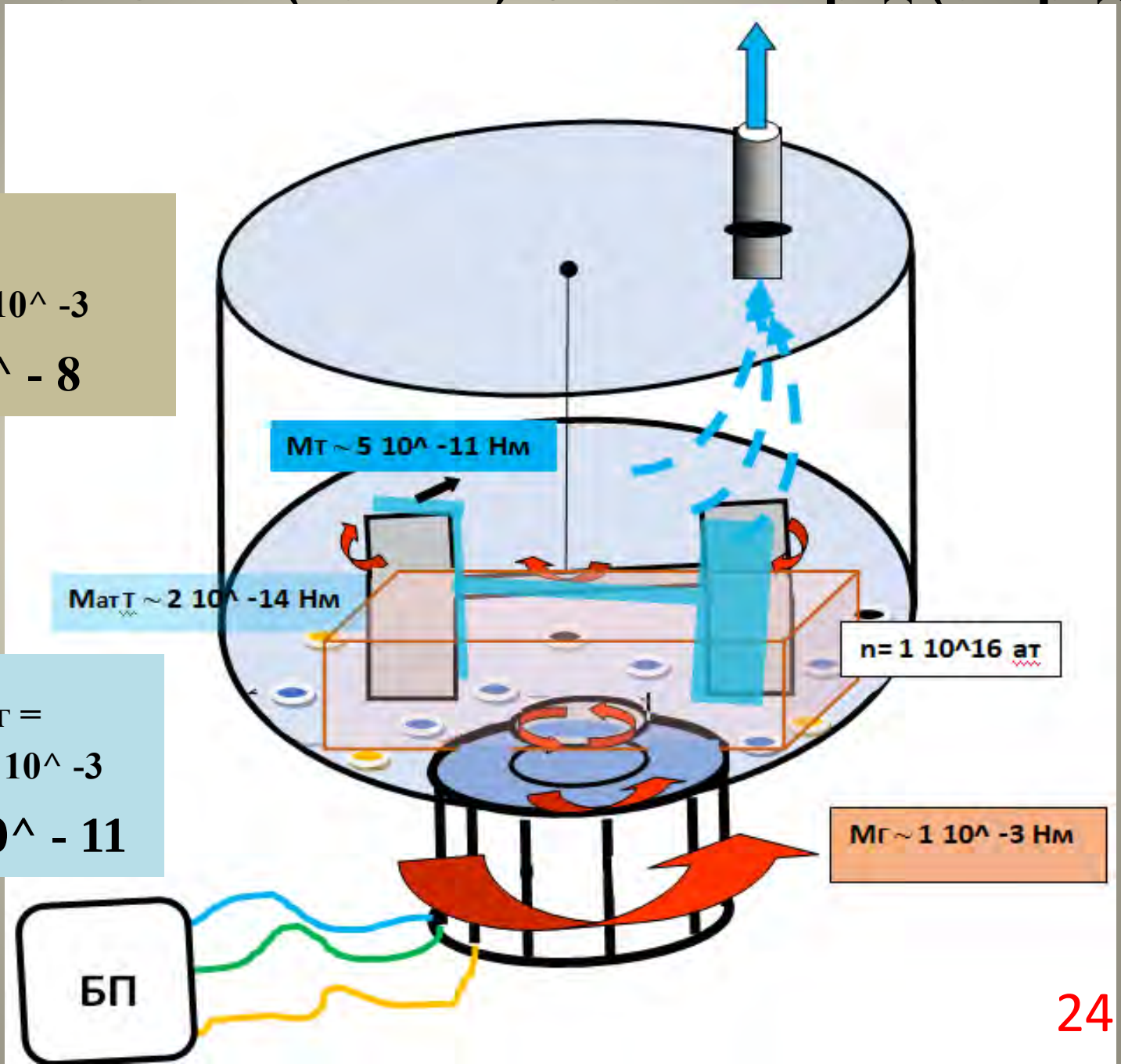

Об исчезновении эффекта фантома при вакуумной атмосфере

Проведенные эксперименты в вакуумной атмосфере показали, что вымышленный фантом был обусловлен действием внешнего ускоренно вращающегося тела на замкнутую атмосферу (воздух) у индикатора – ТОРСИНДа, что и приводило к временной задержке, которая воспринималась как фантом.

В вакуумированной среде фантом или задержка действия на торсинд отсутствует.

Никакого ФАНТОМА нет - это наша выдумка.

КАК ОБЪЯСНИТЬ именно такое ДЕЙСТВИЕ ТОРСИНДА на ускоренное действие диска?

Проведенные эксперименты схожи с древними экспериментами Генри Кавендиша 1798 года по определению гравитационной постоянной, но в другой интерпретации – это вращение, и не просто вращение, а **ускоренное вращение объемного диска.**

P.S. – Необходимо отметить, что В.Н. Зателепин и Д.С. Баранов еще в 2018 году обратили внимание на добавление в формулу Всемирного тяготения поправку - ускоренное вращение тела (доклад на семинаре Физфака МГУ). "МИС-РТ"-2021 Сборник №76-1-1 http://ikar.udm.ru/mis-rt.htm

ГИПОПЕЗА

Попытка объяснения экспериментов с ТОРСИНДОМ как ГРАВИТАЦИОННОЕ действие.

Этим слайдом сразу хотим отметить, что мы ни какие не эйнштейны.

Мы делаем попытку объяснить артефакт - очень интересные, необычные экспериментальные результаты, полученные на очень чувствительных датчиках – ТОРСИНДАХ. Результаты этих экспериментов заставляют задуматься в правомерности ОТО.

Что есть гравитация?

- Этот вопрос стоит перед учеными с незапамятных времен. Исаак Ньютон дал нам гениальную формулу взаимодействия двух масс:

$$F = G\frac{m1\,m2}{r2}$$

- Закон Ньютона сомнению не подлежит и, благодаря этому закону мы многое узнали и сделали, и делаем. Однако попытки дать ответ, почему и как взаимодействие этих масс, **именно почему- то центра масс** – этот вопрос, по настоящее время остается непонятным.

.

Можно перечислять многих ученых, обративших свой взор на эту проблему и в прошлом, и настоящем…

Общепринятой на сегодня теорией по гравитации является теория Альберта Эйнштейна – ОТО.

Создавая свою теорию, Эйнштейн отказывается от среды, которая издревле называлась ЭФИРОМ.

- Тогда встает вопрос, а что такое ПОЛЕ или пространство по Эйнштейну?
- Если убирается некая субстанция, которая издревле называлась ЭФИРОМ, то ответ (по Эйнштейну) становится очевиден – это поле «НИЧЕГО» – его пространство – это «НИЧЕГО». А это – «НИЧЕГО» он геометрически представляет так, как представлено на рисунке 1.

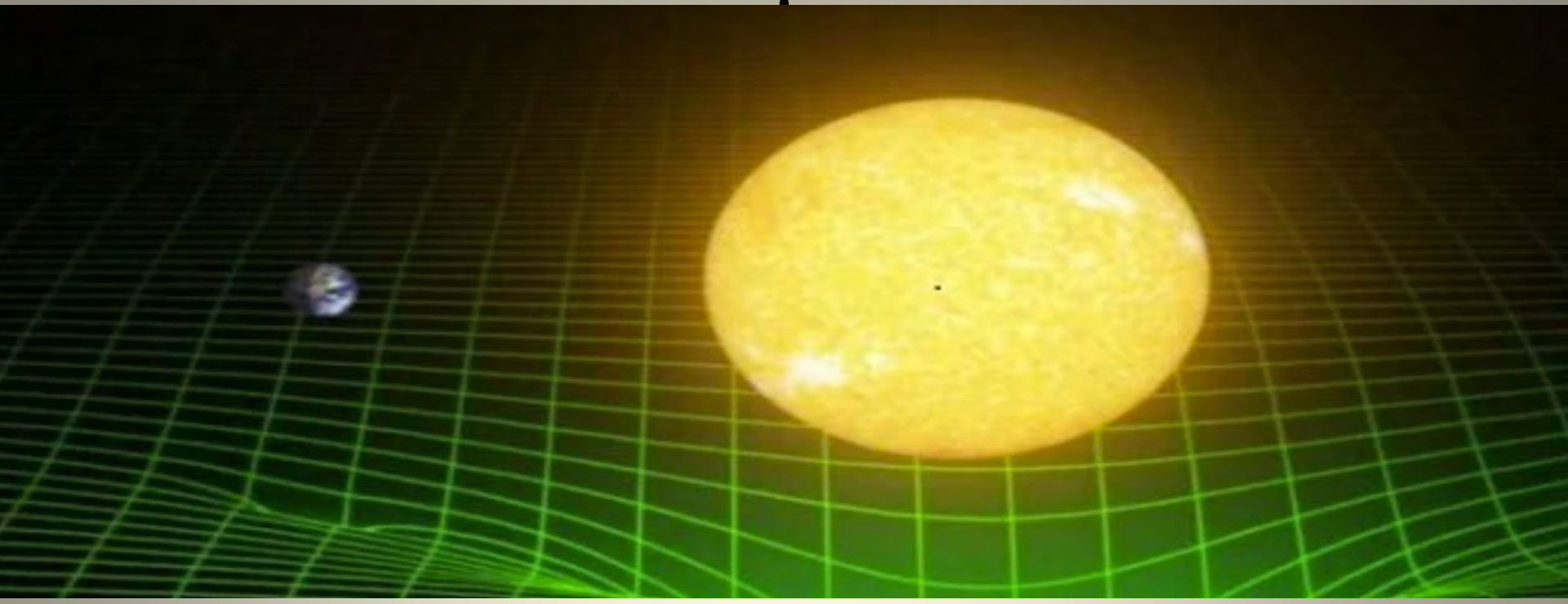

Рис.1. Пространство «НИЧЕГО», по Эйнштейну.

Как ПОЛЕ НИЧЕГО может объяснить взаимодействие двух тел посредством «НИЧЕГО»?

Что приводит, или почему массивное тело приводит к искажению пространства?, а потому, что надо объяснить, почему тела притягиваются – гравитацию.

Но это же масло масленое.

Да математика показывает и математика есть, но так ли это?

Основная статья: ***Уравнения Эйнштейна***

Космологи́ческая постоя́нная, иногда называемая **лямбда-член**[1] (от названия греческой буквы Λ, используемой для её обозначения в уравнениях общей теории относительности) — физическая постоянная, характеризующая свойства вакуума, которая вводится в общей теории относительности. С учётом космологической постоянной уравнения Эйнштейна имеют вид

$$R_{ab} - \frac{R}{2} g_{ab} + \Lambda g_{ab} = \frac{8\pi G}{c^4} T_{ab}$$

где Λ — космологическая постоянная, g_{ab} — метрический тензор, R_{ab} — тензор Риччи, R — скалярная кривизна, T_{ab} — тензор энергии-импульса, c — скорость света, G — гравитационная постоянная Ньютона. Размерность космологической постоянной в таких единицах соответствует размерности обратной площади, или обратному квадрату длины (в СИ — м$^{-2}$).

По мнению многих физиков, занимающихся квантовой гравитацией, малая величина космологической постоянной трудно согласуется с предсказаниями квантовой физики и поэтому составляет отдельную проблему, именуемую «проблемой космологической постоянной». Всё дело в том, что у физиков нет теории, способной однозначно ответить на вопрос: почему космологическая постоянная так мала или вообще равна 0? Если рассматривать эту величину как тензор энергии-импульса вакуума, то она может интерпретироваться как суммарная энергия, которая находится в пустом пространстве. Естественным разумным значением такой величины считается её планковское значение, даваемое и различными расчётами энергии квантовых флуктуаций. Оно, однако, отличается от экспериментального на ~120 порядков, что некоторые авторы называют «худшим теоретическим предсказанием в истории физики»[4]. Естественная, ожидающаяся в теории величина космологической постоянной близка к обратному квадрату планковской длины $L_{\mathrm{Pl}}{}^{-2}$, тогда как наблюдающееся значение $\Lambda \approx 2{,}85 \cdot 10^{-122}\, L_{\mathrm{Pl}}{}^{-2}$.

Что послужило отказом от среды – ЭФИРА? Это эксперименты Майкельсона-Морли. Но так ли это?

В 1881 году А.А. Майкельсон с Э.У. Морли провели первый опыт, в котором не обнаружили следов смещения интерференционной картины, то есть разницы в скорости света по разным направлениям.

По итогу экспериментов 1887 года Майкельсон и Морли заявили, что результат опыта по обнаружению эфирного ветра был также отрицательный, на том основании, что обнаруженные 6,64 км/с меньше, чем скорость вращения Земли вокруг Солнца (30 км/с).

Но $v = 6.64$ км/с была определена

Продолжим экскурс по этим экспериментам

1928 год - результаты эксперимента Майкельсона в обработке С.И. Вавилова, показали, что имеются сдвиги интерференционных полос в зависимости от ориентации прибора. Источник - Бухалов И. П., Современный взгляд на опыт Майкельсона.

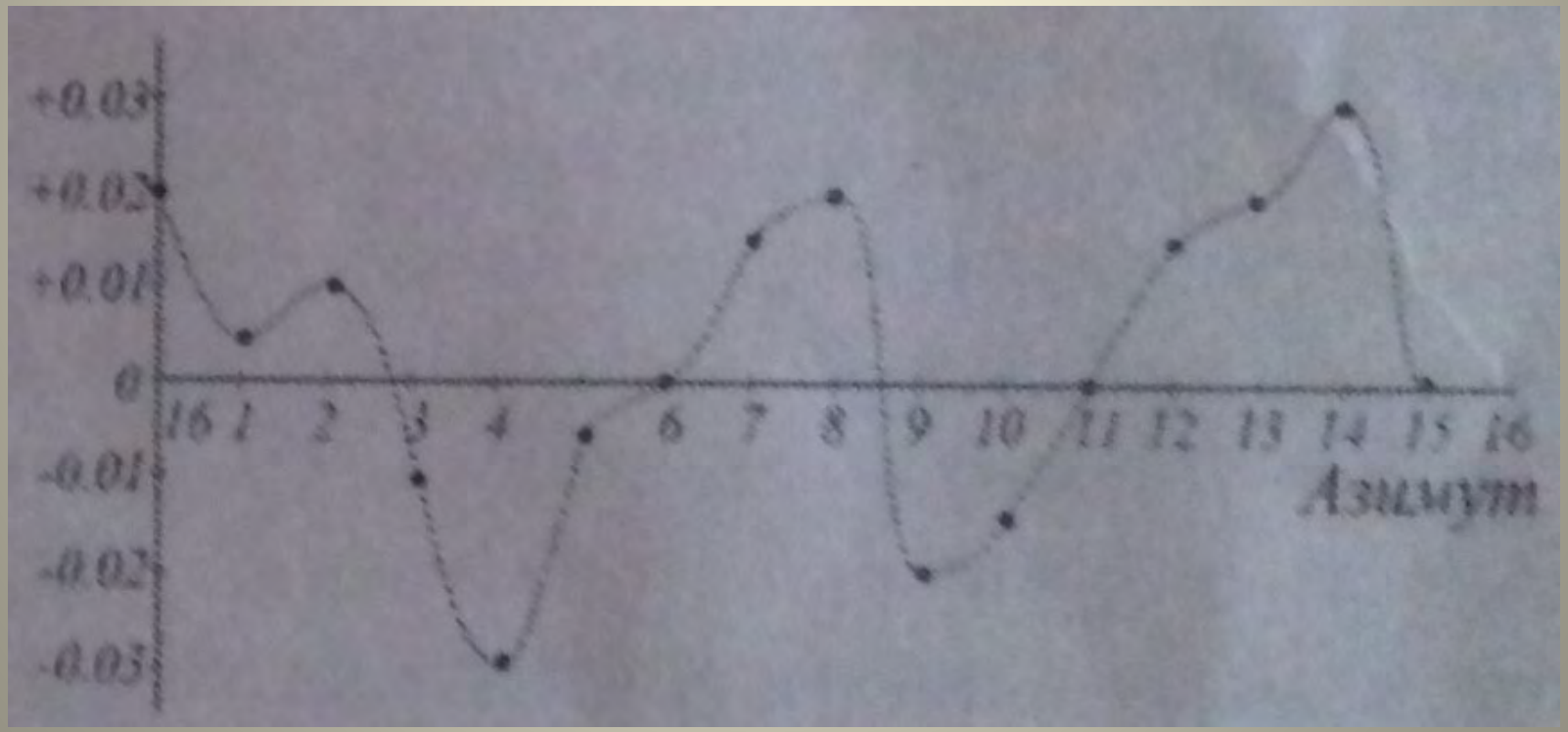

Физики неоднократно пытались перепроверить полученные результаты.

- В 1921 – 1926 гг. Дэйтон Миллер провел новые опыты, на этот раз расположив прибор на высоте 1860 метров, в обсерватории Маунт Вилсон, получил значение 8 – 10 км/с.
- Такие результаты встревожили лично Эйнштейна, который потребовал повторить опыты Миллера.
- Что касается самого Миллера, то у него была проблема, что полученная скорость эфирного ветра 8 – 10 км/с была в 40 раз ниже той, что он теоретически ожидал. Миллер обратился к коллегам-теоретикам с просьбой пояснить это противоречие, но ответа не добился.
- В 1968 – 1971 гг. в Обнинске В.В. Демьянов провел серию экспериментов по обнаружению эфирного ветра. В качестве светоносной среды использовался газ H2S (1 атм., плечо 7 м), воздух (2 атм., плечо 6 м), вода (плечо 30 см), плавленый кварц (плечо 10 см), другие материалы. Были получены сдвиги интерференционной полосы, интерпретированные как проявление эфирного ветра со скоростью 225 – 625 км/с в точке измерения.

А вот сами результаты опытов Миллера (2, США, 1925 г.) и В.В. Демьянова (3, СССР, 1968 - 1970).

По оси абсцисс указано время суток в часах, по оси ординат слева - обнаруженная скорость эфирного ветра, справа - скорость эфирного ветра с поправками, указанными Демьяновым.

https://dzen.ru/a/YTxbyecucFYhmAG3?sid=8391196608198913

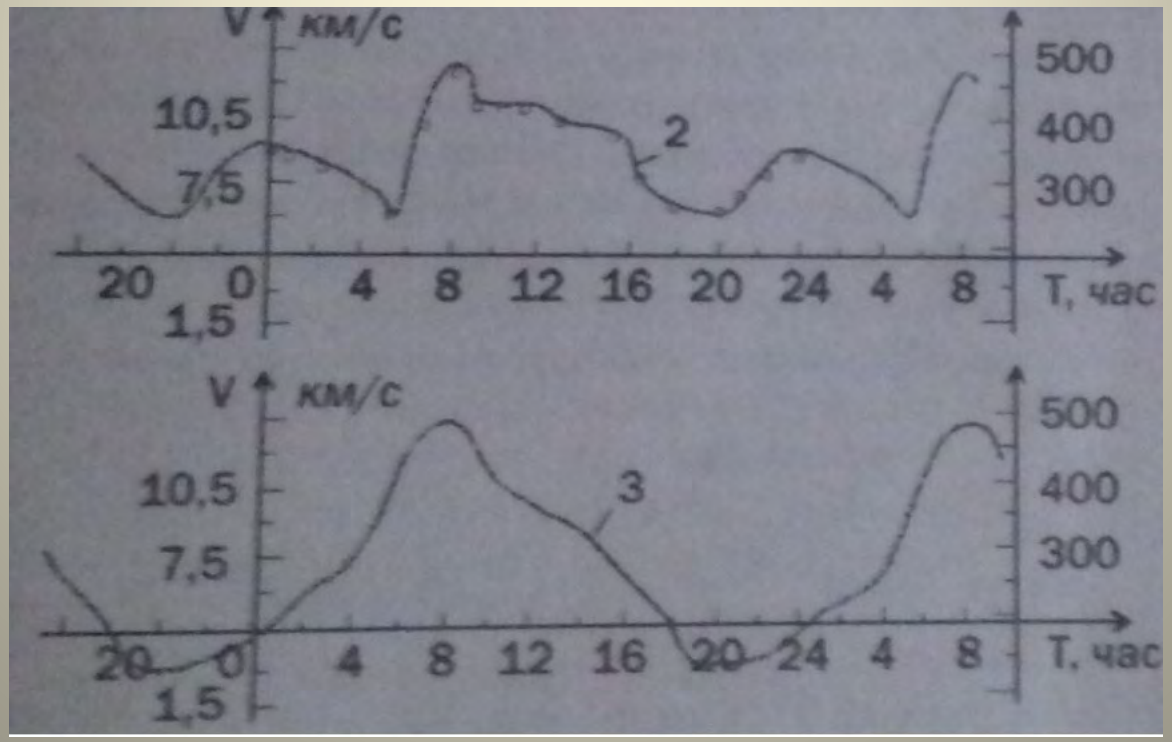

Демьянов в статье «Что и как измеряет интерферометр Майкельсона?» указывает, что в интерферометрах подобного типа должны возникать паразитные лучи света, дающие более интенсивную и контрастную картину интерференции, чем полезные лучи.

Именно поэтому результаты

Майкельсона-Морли (1887 г)

и Миллера (1925 г) не соответствуют действительности с большим занижением скорости эфирного ветра.

Австралийский физик Кэхилл независимо от Демьянова в 2002 году пришел к выводу, что анизотропия скорости эфира может быть обнаружена только в воздухе или иной прозрачной для света среде. С учетом этих поправок, Майкельсон и Морли реально поймали эфирный ветер со скоростью 208 км/с, а не 6 км/с.

Любая научная теория, в том числе и теория относительности (ОТО), должна быть подвергаема критике. Если же теория превращается в Святое Писание, то это приведет к застою и другим тяжелым последствиям.

https://dzen.ru/a/YTxbyecucFYhmAG3?sid=8391196608198913

https://dzen.ru/a/ZUqwAoikrWIfV2c

А что Д. И. Менделеев говорил об эфире?

Дмитрий Иванович Менделеев неоднократно говорил и писал в своих работах: «Без понимания эфира как мировой среды, позволяющей передавать энергию на расстояния, задачи тяготения и энергетики невозможно считать решёнными. Его игнорирование или нежелание изучать ведёт к ложным выводам».

Ряды	группы элементов								
	0	I	II	III	IV	V	VI	VII	VIII
0	Ньютоний								
1	Короний	Водород **H** 1,008	—	—	—	—	—	—	
2	Гелий **He** 4,0	Литий **Li** 7,03	Бериллий **Be** 9,1	Бор **B** 11,0	Углерод **C** 12,0	Азот **N** 14,01	Кислород **O** 16,00	Фтор **F** 19,0	
3	Неон **Ne** 19,9	Натрий **Na** 23,05	Магний **Mg** 24,36	Алюминий **Al** 27,1	Кремний **Si** 28,2	Фосфор **P** 31,0	Сера **S** 32,06	Хлор **Cl** 35,45	
4	Аргон **Ar** 38	Калий **K** 39,15	Кальций **Ca** 40,1	Скандий **Sc** 44,1	Титан **Ti** 48,1	Ванадий **V** 51,2	Хром **Cr** 52,1	Марганец **Mn** 55,1	Железо **Fe** 55,9 / Кобальт **Co** 59 / Никель **Ni** 59
5		Медь **Cu** 63,6	Цинк **Zn** 65,4	Галлий **Ga** 70,0	Германий **Ge** 72,5	Мышьяк **As** 75	Селен **Se** 79,2	Бром **Br** 79,95	
6	Криптон **Kr** 81,8	Рубидий **Rb** 85,5	Стронций **Sr** 87,6	Иттрий **Y** 89,0	Цирконий **Zr** 90,6	Ниобий **Nb** 94,0	Молибден **Mo** 96,0	—	Рутений **Ru** 101,7 / Родий **Rh** 103,0 / Палладий **Pd** 106,5
7		Серебро **Ag** 107,93	Кадмий **Cd** 112,4	Индий **In** 115,0	Олово **Sn** 119,0	Сурьма **Sb** 120,2	Теллур **Te** 127	Иод **I** 127	
8	Ксенон **Xe** 128	Цезий **Cs** 132,9	Барий **Ba** 137,4	Лантан **La** 138,9	Церий **Ce** 140,2	—	—	—	— / — / —
9		—	—	—	—	—	—	—	
10	—	—	—	Иттербий **Yb** 173	—	Тантал **Ta** 183	Вольфрам **W** 184	—	Осмий **Os** 191 / Иридий **Ir** 193 / Платина **Pt** 194,8
11									
12	—	—	Радий **Ra** 225	—	Торий **Th** 232,5	—	Уран **U** 238,5		

Изначальная таблица. Источник фото: https://i.pinimg.com/originals/f6/2b/98/f62b985e3fc178fea077cbaab2240760.png

Периодическая система химических элементов Д. И. Менделеева
PrintFiles.ru
ГРУППЫ ЭЛЕМЕНТОВ
Периоды
Ряды
I
II
III
IV
V
VI
VII
VIII
Энергетические уровни
Название элемента
Символ элемента
Порядковый номер
Распределение электронов на энергетических уровнях
Относительная атомная масса
Дмитрий Иванович Менделеев
(1834-1907 гг)
Немного истории
Сопоставляя химические

Так почему же именно центр масс работает в формуле И. Ньютона

Но центр масс – это точка в центре массивного тела.

Но этой точке (центра масс) в природе нет!

В природе минимум, куда мы можем на сегодня «опуститься», погрузится в центр любого тела (Планета, Спутник, кусок глины и т.д.**) – это до атома и элементарных *p, n* и *e*, *которые обладают массой и зарядом, и магнитными свойствами*.**

Вселенная с субстанцией – ЭФИРОМ

Многочисленные мысленные эксперименты – это прямое притяжение тел и отталкивание по Декарту, тахионный обмен по Лапласу, волновое действие по Хэвисайду, искажение пространства по Эйнштейну, и т.д. - о том, как работает гравитация по взаимодействию тел, приводят к следующим взглядам на данный гравитационный процесс по взаимодействию тел или их масс:

Если тело имеет неизменную массу, то что способствует этому?

- Золото миллионы лет – золото (*Au*).
- А из чего состоят все вещества (без рассмотрения кварковой теории)? Из протонов и электронов, которые имеют и заряды, и спины, и, главное, в данном рассмотрении точно установленные различные массы. Масса протона почти в две тысячи раз больше массы электрона, а кулоновские заряды равны. Заряженное тело отрицательным зарядом (электронами) будет отличаться по массе только на массу избытка электронов – это мизерная добавка к массе тела, а заряд на пластине конденсатора возрос в 10^{10-20}.
- **Следовательно, масса, по сравнению с зарядом, это что-то другое.**

- . Настоящие теории по элементарным частицам делают упор на их вихревые и устойчивые образования, но любая вихревая структура нуждается в энергетической подпитке или мы должны признать элементарные частицы *(e) и (p)* – вечными двигателями?
- Положим, что для поддержания своих свойств (рассмотрим только массы, а заряды оставим в покое, т.к. ранее это было показано, что они имеют вторичный эффект) эти элементарные частицы вбирают (черпают или пополняют) что-то, пополняя свою энергию из ЭФИРА – из субстанции Вселенной, что и обеспечивает бесконечную устойчивость их масс, и их свойств во времени. Таким образом, парадокс их вечных двигателей снимается. ИЛИ?

- Примем выше сказанное за настоящее:

МАССА + (ЭФИР)f(t) = const m

- Данное предположение может быть оправдано тем, что невозможно охладить вещество до абсолютного ноля температуры (0К). Всегда остаются НОЛЬМЕРНЫЕ колебания, что может быть связано с параметром всасывания эфира для поддержания вихревой структуры элементарной частицы

(e) и (p)+ (ЭФИР)f(t))

- Введение данного постулата, по-видимому, оправдано, так как физически устраняется парадокс ВЕЧНОГО ДВИГАТЕЛЯ для «элементарных» частиц, из которых состоит тело с определенной массой.

НАША ГИПОТЕЗА

Мы полагаем, что у поверхности тела создается градиентный диффузионный слой ЭФИРа, а сам ЭФИР затекает, засасывается в тело через его поверхность для энергетического поддержания всей системы, из чего состоит тело.

Именно этот эфирный диффузионный градиент у поверхности тела и определяет гравитационное действие – гравитацию на поверхности тела

Схема гравитационного действия двух тел различной массы в эфирном представлении

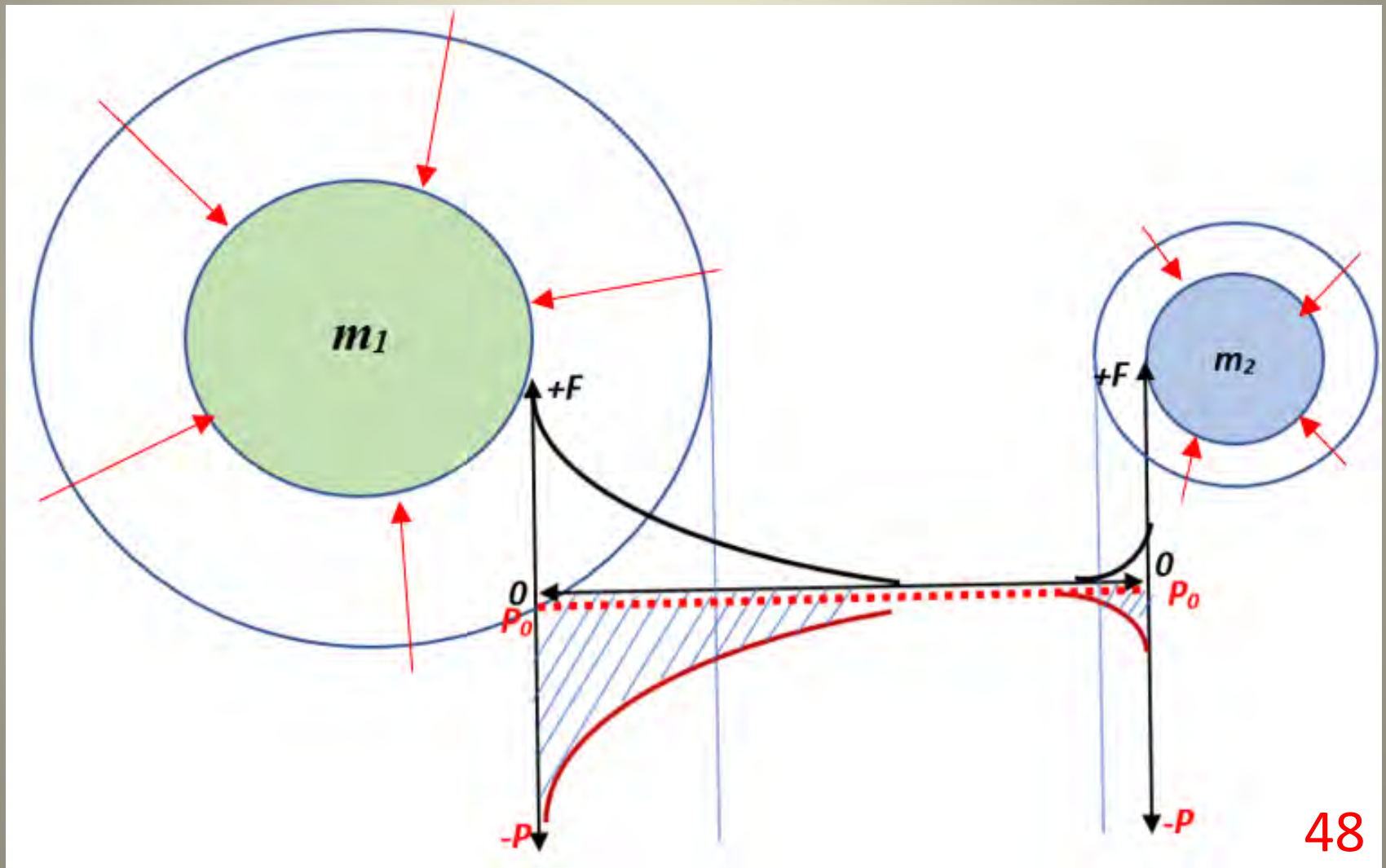

В нашей работе обнаружился интересный факт. Рассмотрим более подробно гравитационную формулу И. Ньютона

$$F = G\frac{m1\,m2}{r2}$$

Земля притягивает любое тело, но и тело притягивает Землю. Из формулы следует, что любое тело у своей поверхности радиусом ***r*** имеет собственное значение ускорения свободного падения:

$$g1 = G\frac{M1}{r2} \qquad g2 = G\frac{m2}{r2} \qquad g3, g4, \ldots \text{и т. д}$$

Да, это могут быть очень малые величины по g , но они есть. Из этого следует, что надо внести поправки к восприятию мироздания.

Поправка к эксперименту Галилея

Так например, летящий к Земле шар металла массой в *1000 кг (**1Т**)* с высоты *100 м* имеет прибавку к

*1000 кг (**1Т**)* ***g*** = ***9.8 м/с2 + 6.67 10^ -12 м/с^2***,

а тело ***1г*** --------- ***9.8 м/с 2 + 6.67 10^ -18 м/с^2***.

Я не могу представить себе, как и кто бы это мог такое зафиксировать. А если ввести радиус малого тела, то вообще говорить не о чем.

Конечно, с такими добавками к ***g*** эти тела будут лететь к Земле, практически неотличимо, одновременно, но с мизерной теоретической поправкой.

Здесь вырисовывается поправка к Галилею -

более массивное тело к Земле прилетит и ударится о Землю быстрее, на ничтожно малое время, чем тело меньшей массы.

Может это произойдет при наноразмерных расстояниях от поверхности Земли, но это должно произойти по нашей гипотезе.

Получаем, что в инерциальных системах – покоится ли Земля, или равномерно вращается-

ускорение притяжения для данного тела определяется градиентом эфира у поверхности тела, а сила притяжения убывает как квадрат расстояния от поверхности тела – это по Ньютону. Но стоит телу (ЗЕМЛЯ и человек на ней) придать ускоренное вращение, как вся устойчивая система будет нарушена

Очень похожая картинка из ОТО, но с тем различием, что вместо искажения пространственно- временной характеристики А. Эйнштейна, мы говорим об Эфирном затекании и возникновении градиента ЭФИРа у поверхности тела для обеспечения устойчивости массивного тела

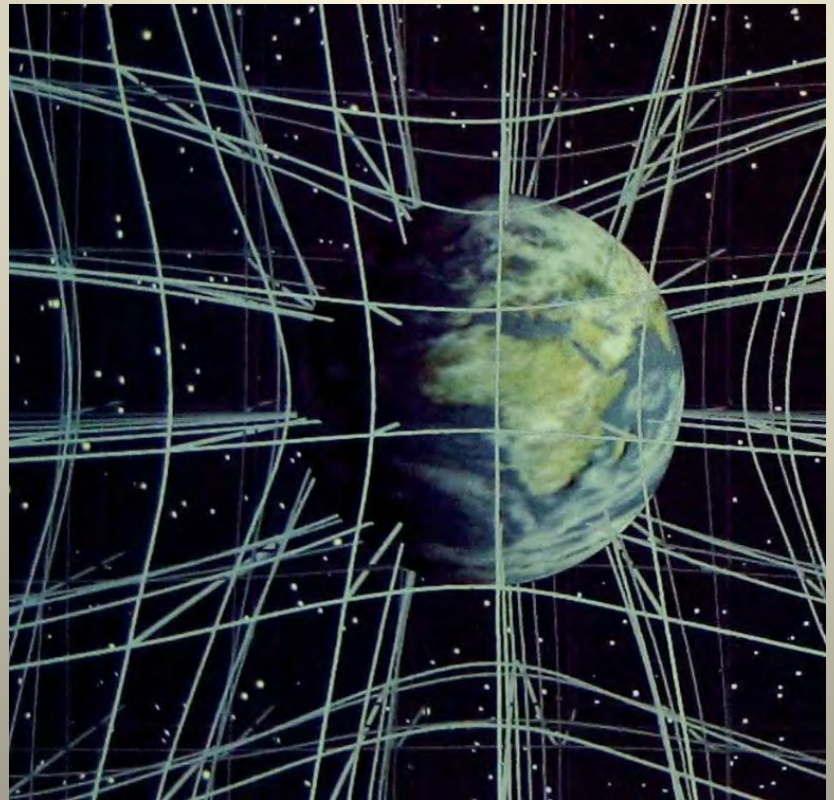

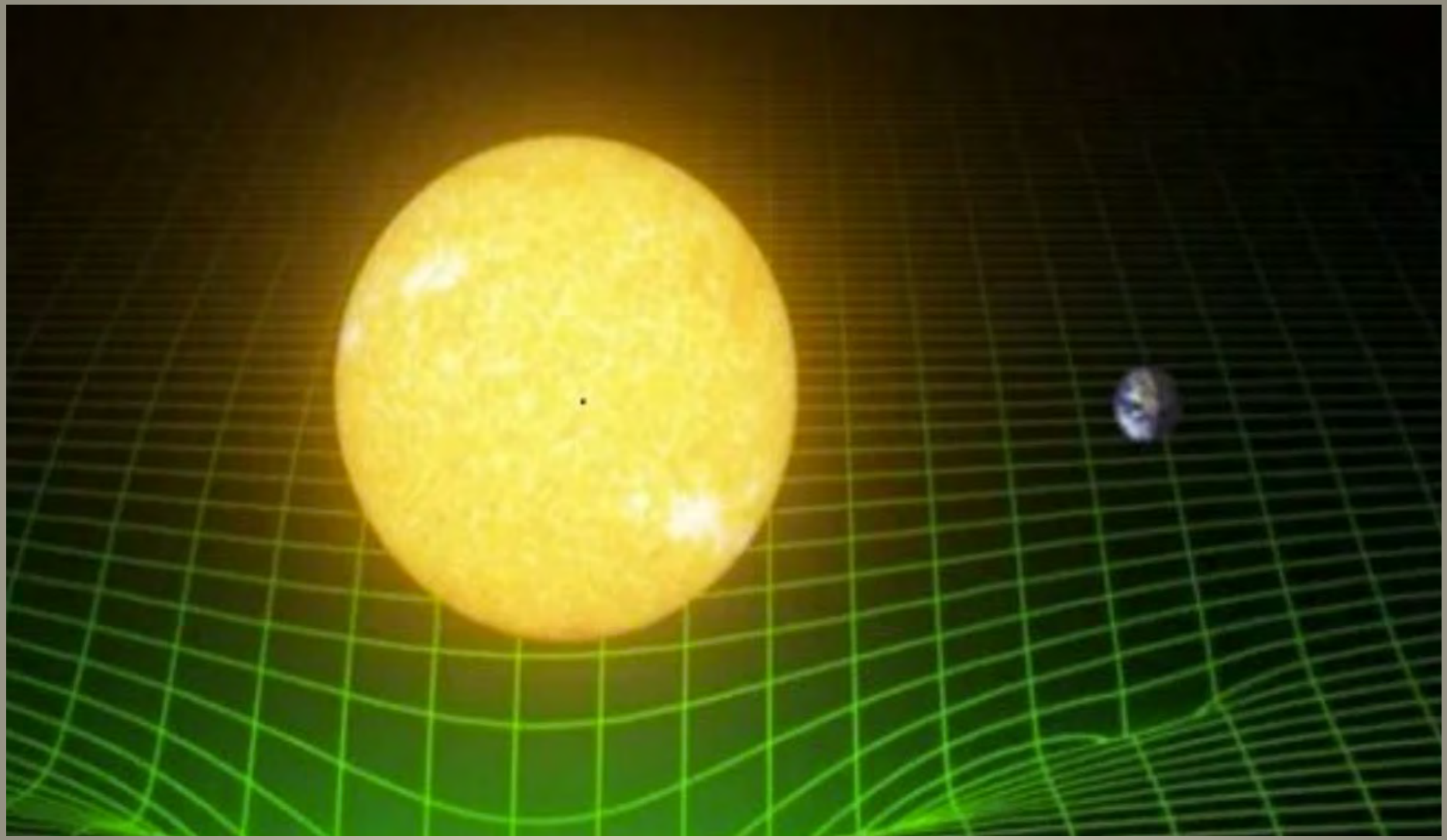

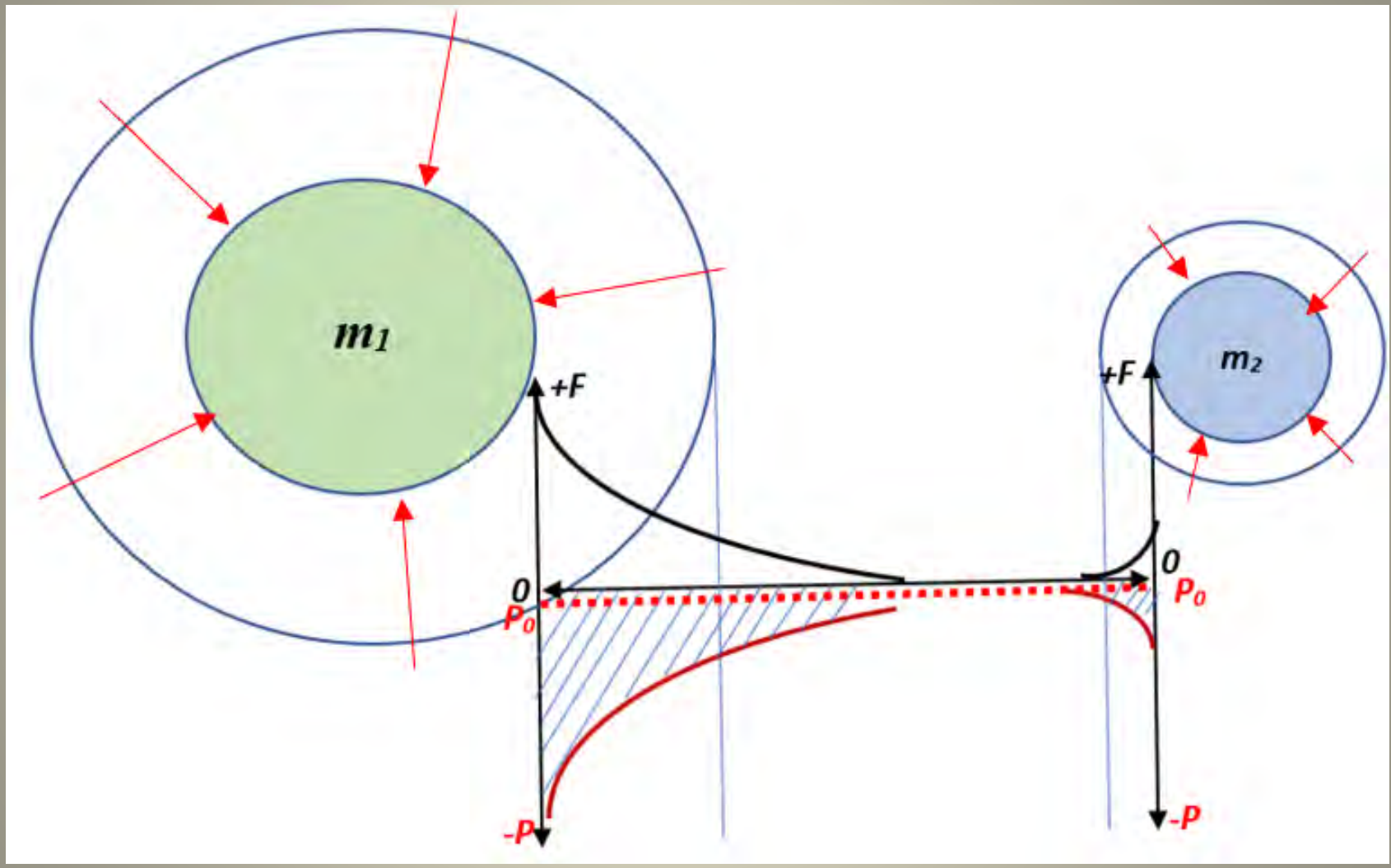
m1
+F
0
P0
-P
m2
+F
0
P0
-P

Вернемся к гравитации и ТОРСИНДУ

Именно ускоренное вращение большого диска или гироскопа способствует движению ТОСИНДА.

Время разгона диска до 9000 – 11 000 об/мин 3 – 5 сек.

Периодичность повторения разгона до начала движения ТОРСИНДА как «шестеренки» - 10 -15 раз.

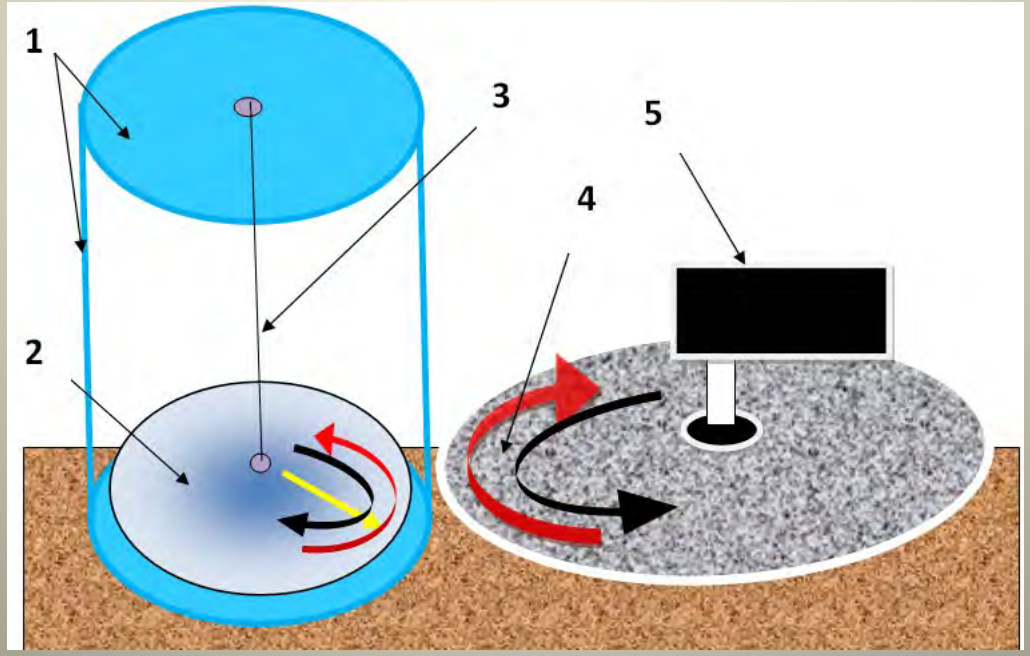

Но как это можно объяснить, что именно **ускоренное вращение** большого диска действует на изолированный ТОРСИНД?

Мы полагаем, что при данном действии **изменяется эфирный градиент у поверхности ускоренно вращающегося тела и это приводит к воздействию на ТОРСИНД, создавая дополнительную силу**

При стационарном режиме

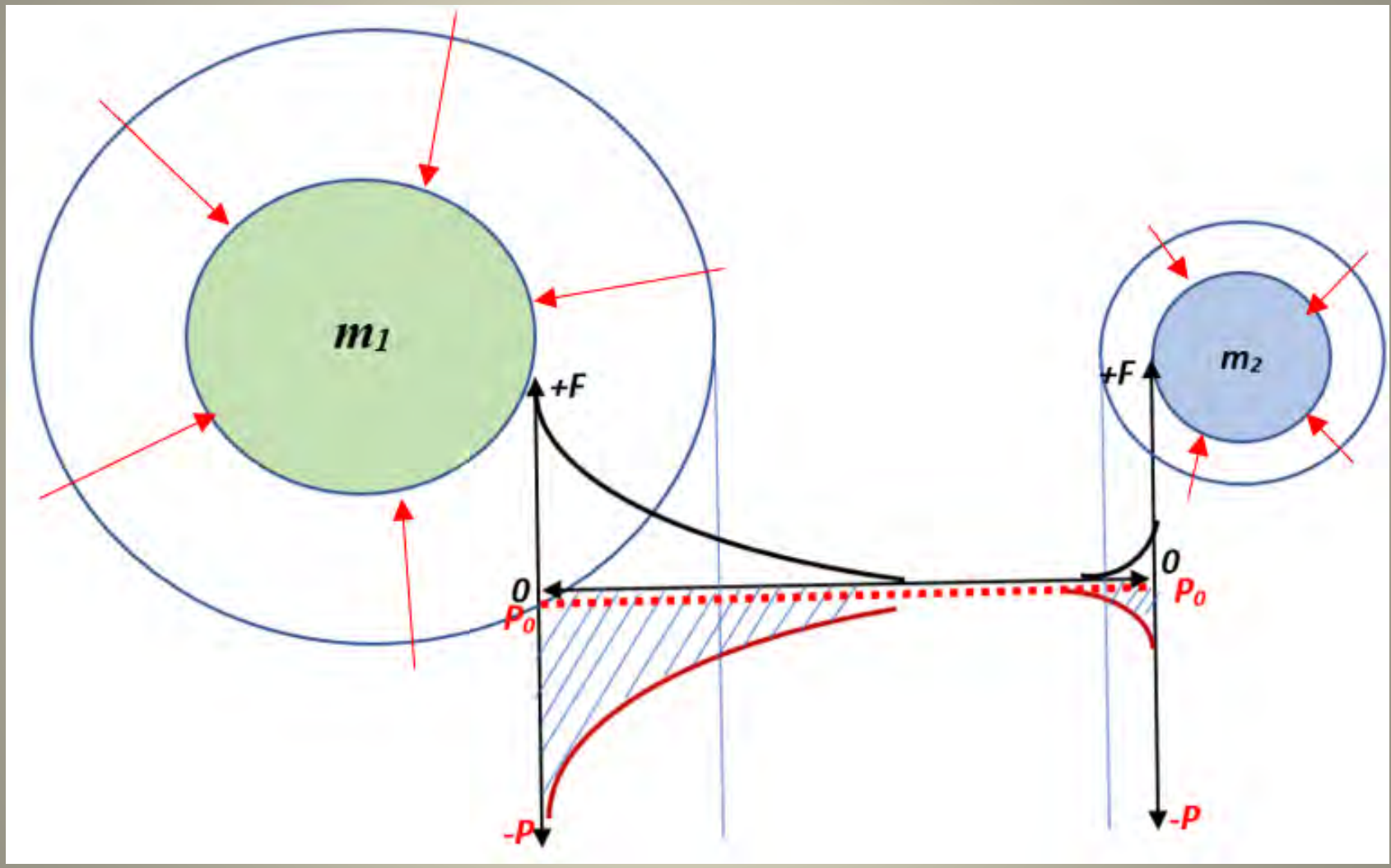

Схема изменения состояния эфирной приповерхностной области у тела при ускоренном вращении.

Пунктирные линии – это изменение *grad* диф. ЭФИРа у поверхности тела ускоренно вращающегося, а следовательно, силы гравитационного притяжения

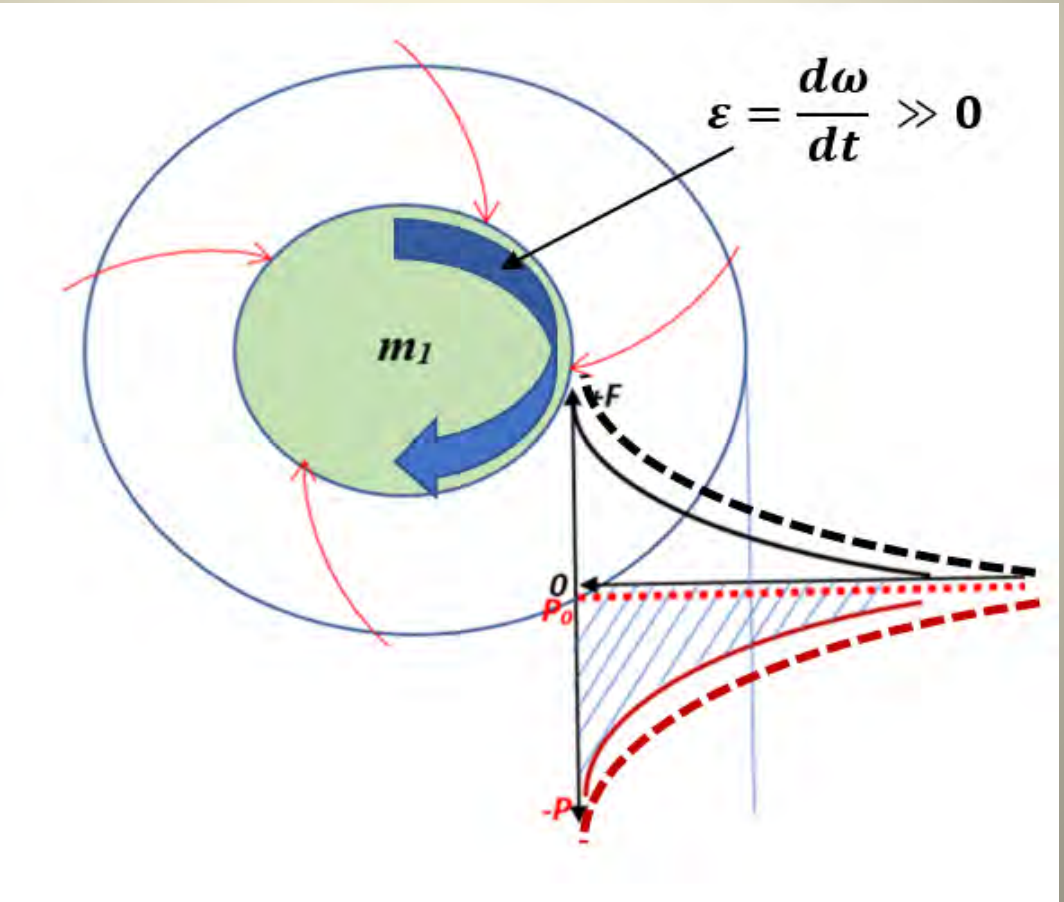

Тело с ускоренным вращением

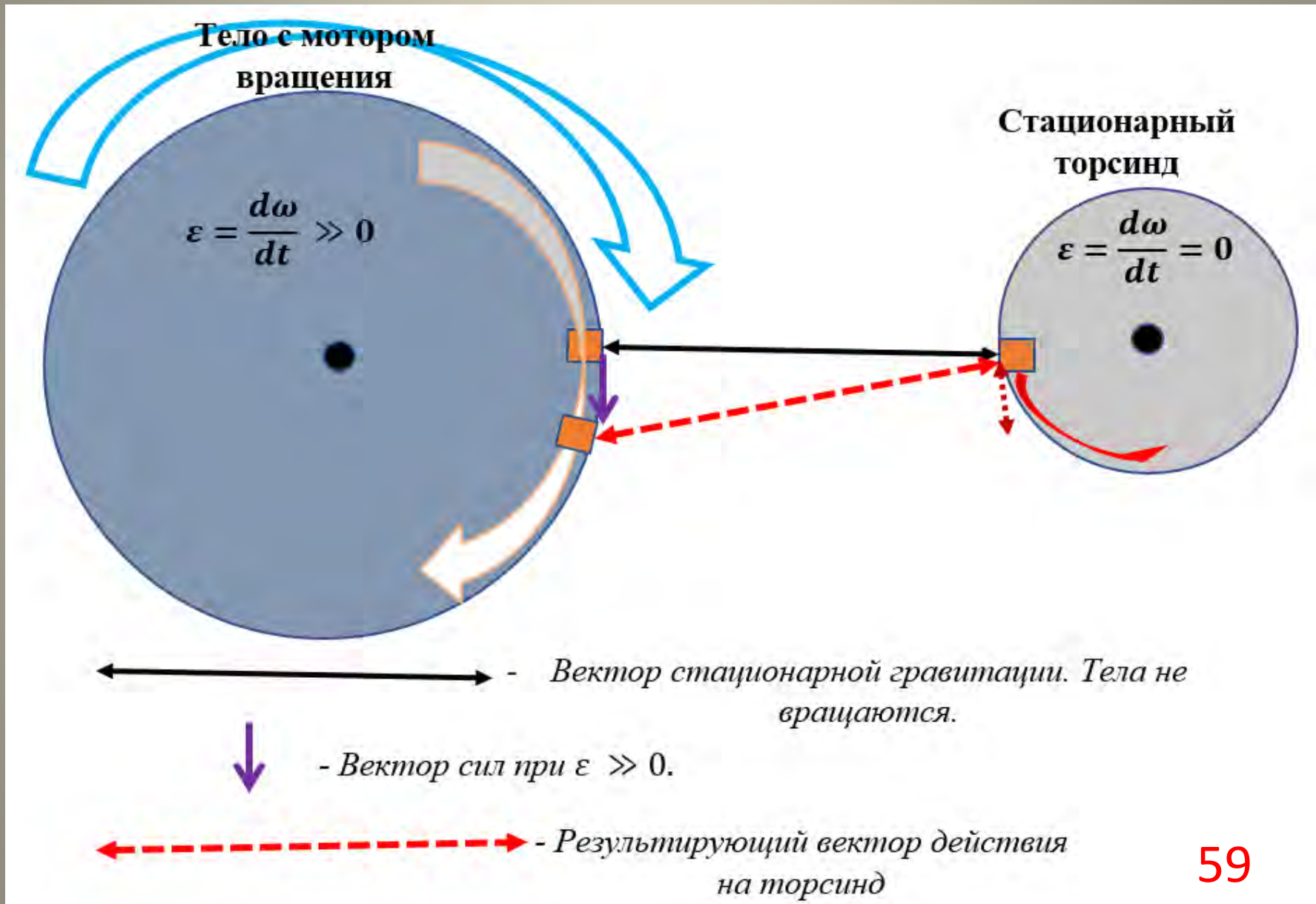

Из данного положения – присутствие градиента ЭФИРа у поверхности тела следует ВАЖНЫЙ ВЫВОД – показатель преломления (**n = V/C**) будет отличаться от окружающей среды, а при ускоренном
вращении тела этот эффект должен возрастать:

$$n = \frac{dn}{dx}$$

На сегодняшний день астрономическое линзирование объясняется по ОТО пространственно-временной воронкой

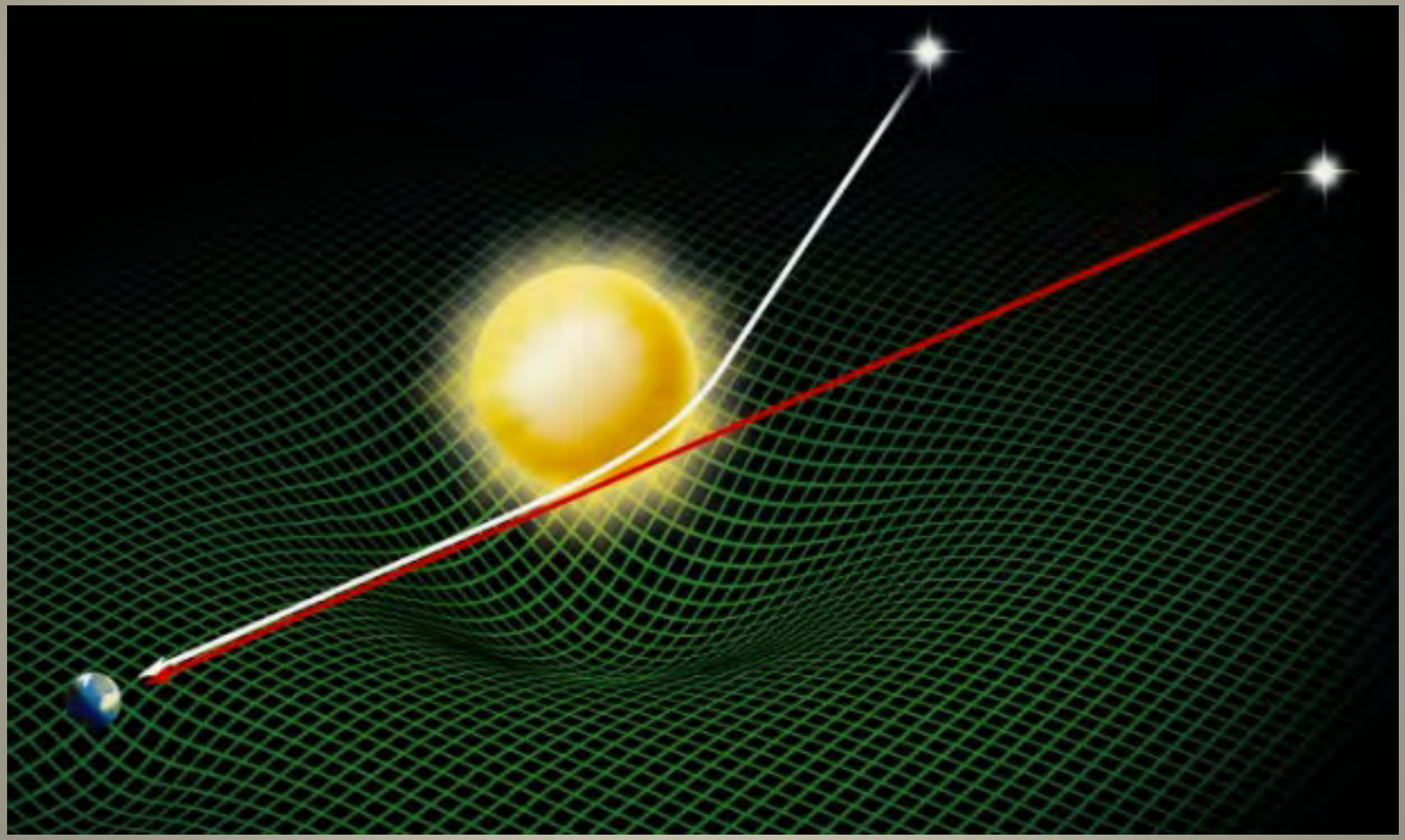

А если есть град ЭФИРА у поверхности тела, значит, коэффициент преломления света будет отличен от удаленной от тела среды, и луч света будет иметь отклонение именно в силу этого градиента, а не из-за пространственно-временной ямы.

Среда - ЭФИР у поверхности тела приобрел функциональную плотность и она разная у разных тел, а при ускоренном вращении эта функция должна усиливаться.

В данном случае эффект линзирования ЗВЕЗДЫ объясняется градиентом ЭФИРА у ее поверхности из-за возникновения функции коэффициента преломления ($n = \frac{dn}{dx}$):

n = f (grad n) , а следовательно, и скорость света будет не С.

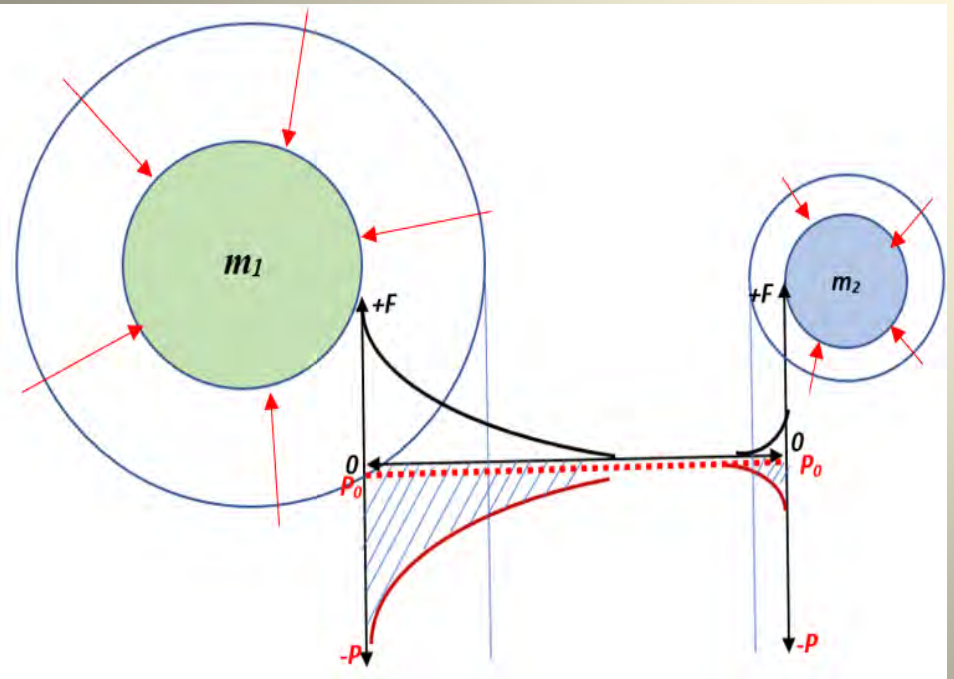

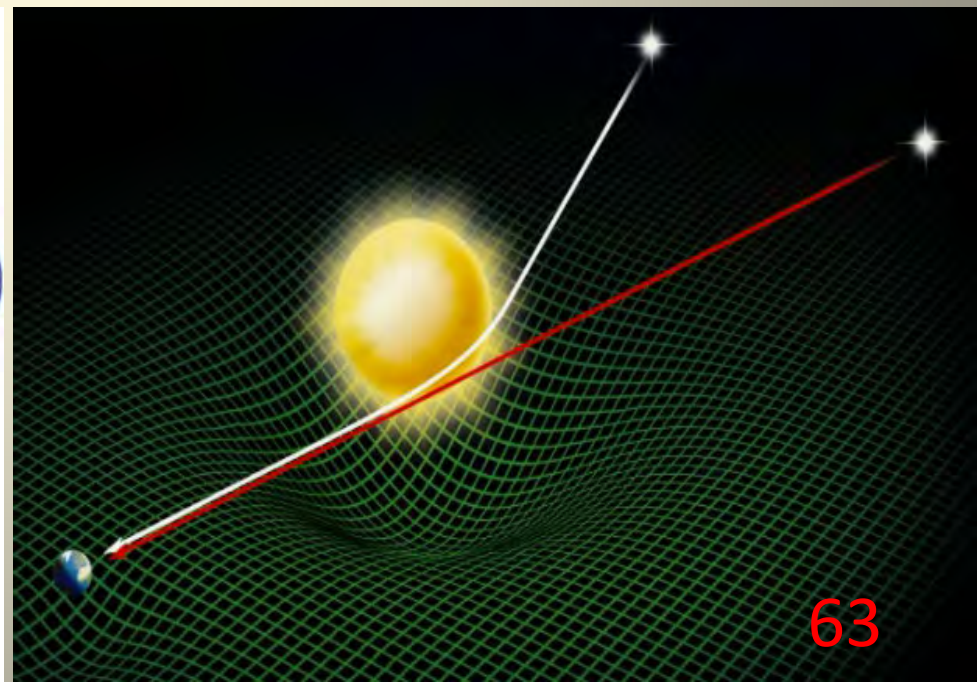

.

Но это все рассуждения.

А можно ли их проверить экспериментально?

Именно этот вопрос и привел к проведению эксперимента с лазерным лучом малой мощности.

Эксперимент 2025 г

по влиянию ускоренного вращения тела на свет лазерного излучения

Для подтверждения или опровержения нашей гипотезы по возникновению градиента эфирной среды у поверхности любого тела проведены эксперименты с лазерным лучом.

Лазерный луч слабой мощности (5 мВт; λ = 650 нм - красный) под малым углом отражался от зеркала и к лучу подносился (5 – 15 мм от луча) ускоренно вращающийся диск с развитием оборотов от 3000 - 4000 до 10000 – 11000 об/мин за 3 – 4 с. При 7 – 10 кратном повторении действия с ускорением диска (параллельно лучу) отраженный луч смещался от первоначального положения.

Необходимо отметить, что вращающий диск был герметично закрыт.

При положении диска перпендикулярно лучу этот эффект отсутствовал.

Удивительным оказалось то, что луч отклоняется от центрального положения двояко:

- при ускоренном вращении **по часовой стрелке** лазерный луч «**отталкивается**» от области действия ускоренно вращающего диска;
- при вращении диска **против часовой стрелки** лазерный луч «**притягивается**» к этой области.

Это говорит об изменении плотности среды в области действия тела ускоренно вращающегося, что приводит к изменению показателя преломления (***n***).

Схема эксперимента

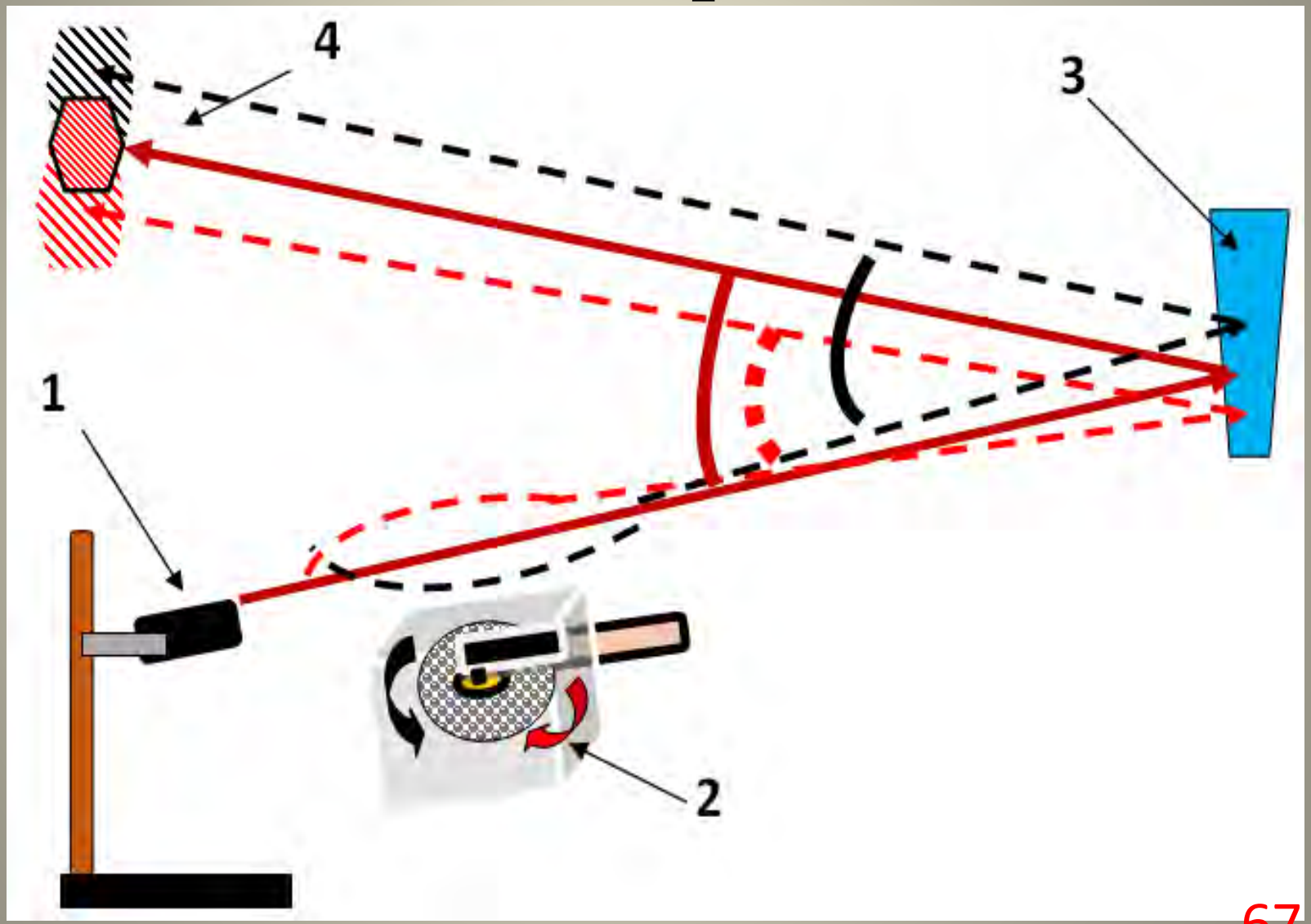

Эксперименты проводились на 30 метровых (в закрытом помещении) и 90 метровых лучах на открытом воздухе ночью при отсутствии ветра.

РЕЗУЛЬТАТЫ ЭКСПЕРИМЕНТА

при данном ускорении диска и его массе (*35 г*).

1. На 30 метровом луче отклонение от центрального пятна составило порядка (+;-) 1.5 см.

$$K_{30} = (+;-)1.5\ 10^{-2}/30 = (+;-)\ 5\ 10^{-4}$$

2. На 90 метровом луче (+;-) 5 - 6 см.

$$K_{90} = (+;-)6\ 10^{-2}/90 = (+;-)\ 6.7\ 10^{-4}$$

Полученные результаты подтверждают нашу гипотезу о существовании градиента эфира у поверхности тела и влиянии на него вращательного момента.

.

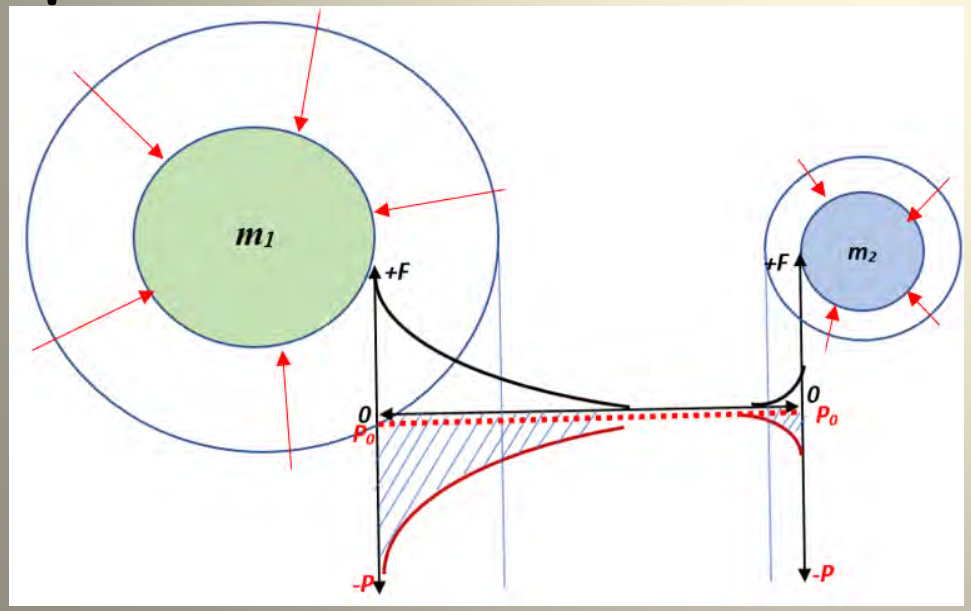

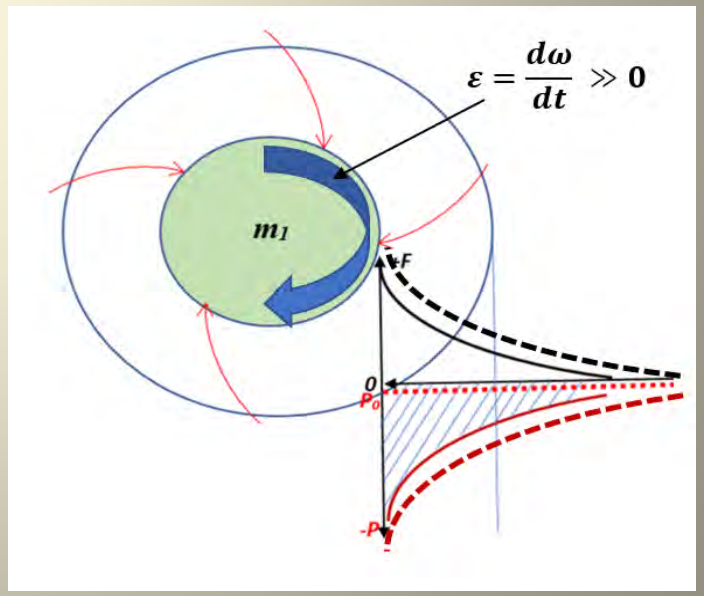

Попытка эксперимента по действию на луч света ускоренного вращения диска на световой поток удалась.

Ускоренное вращение тела оказывает действие на световой поток.

Новый эксперимент 2025 г предложенный физиком-теоретиком, И.Э. Булыженковым

В мае 2025 г И.Э. Булыженков, на основании нашей работы с торсиндами, предложил провести интересный эксперимент – действие ускоренного вращения тела, используя наши инструменты, на перемещении жидкости в капиллярной трубочке.

По его предположению, жидкость должна двигаться.

Да, и такие эксперименты были проведены.

Эксперимент проводился по схеме сообщающихся сосудов с использованием гидроуровня. Две прозрачные оргстеклянные колбы размером (*30 х 30 х 270 мм*) и полиэтиленовый прозрачный шланг (*диаметром 7 – 8 мм*).

Колбы заливались 72 % спиртом (*120 мл*), а в центре трубки устанавливался диффузионный барьер из ваты. В одну из колб заливался *0.5 мл* медицинского раствора йода, что создавало насыщенный желтый цвет в этой части сосуда и трубке

Схема эксперимента по определению влияния ускоренно-вращающегося тела на движение раствора в прозрачной жидкости.

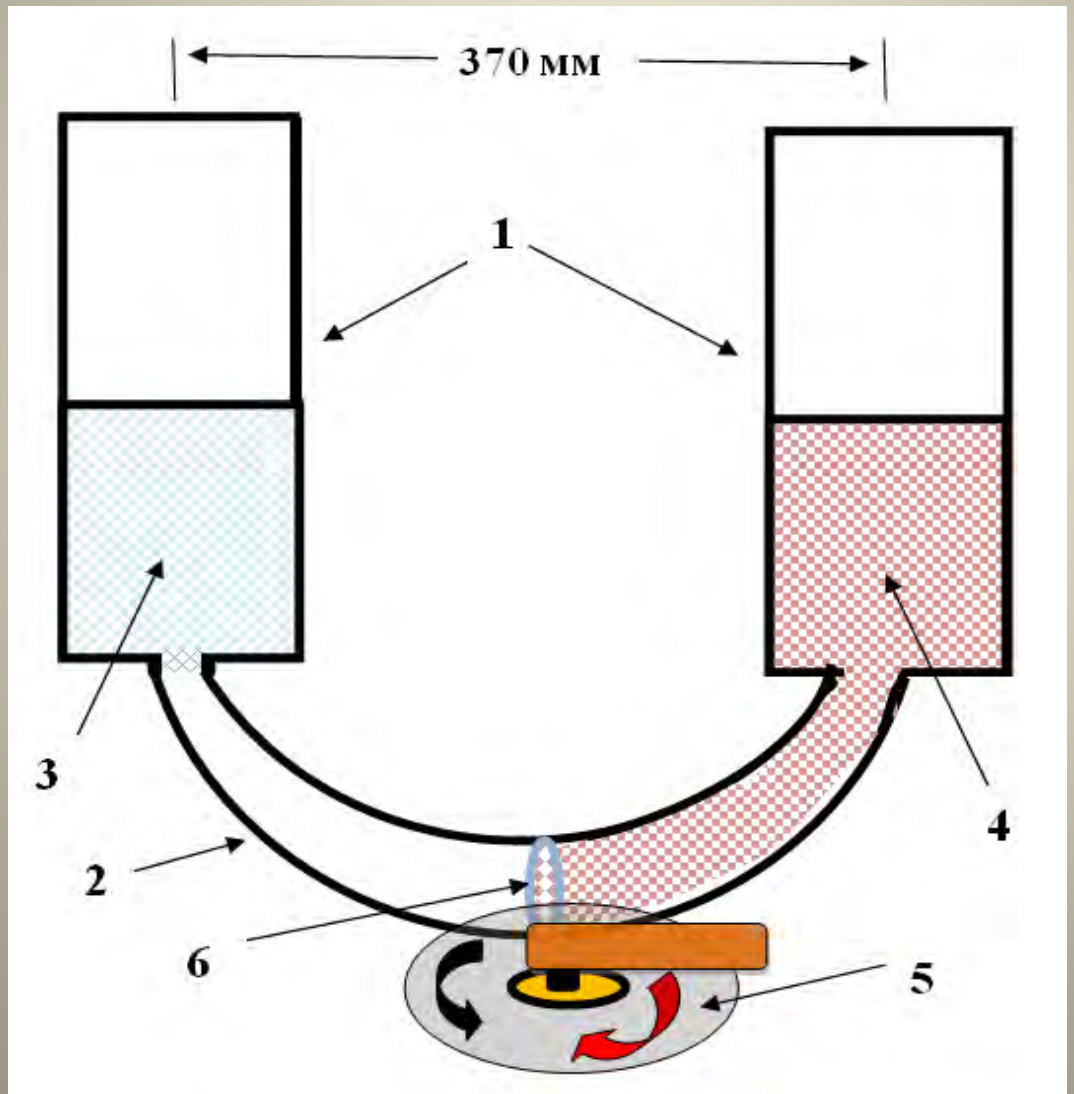

Действие ускоренно вращающегося тела против часовой стрелки на раствор йода в спирте в трубке сообщающихся сосудов.

За *4 мин* вращения гироскопа с ускорением *от 0 до 40 000 об/мин* раствор йода перемещается на *15 -20 мм* в прозрачную область спирта размазанным фронтом. Тот же результат получается от ускоренно-вращающегося диска болгарки с прерывистым ускорением *3 – 5 с (3 000 – 11 000 об/мин)* при *15 – 20* разовом повторении вращения

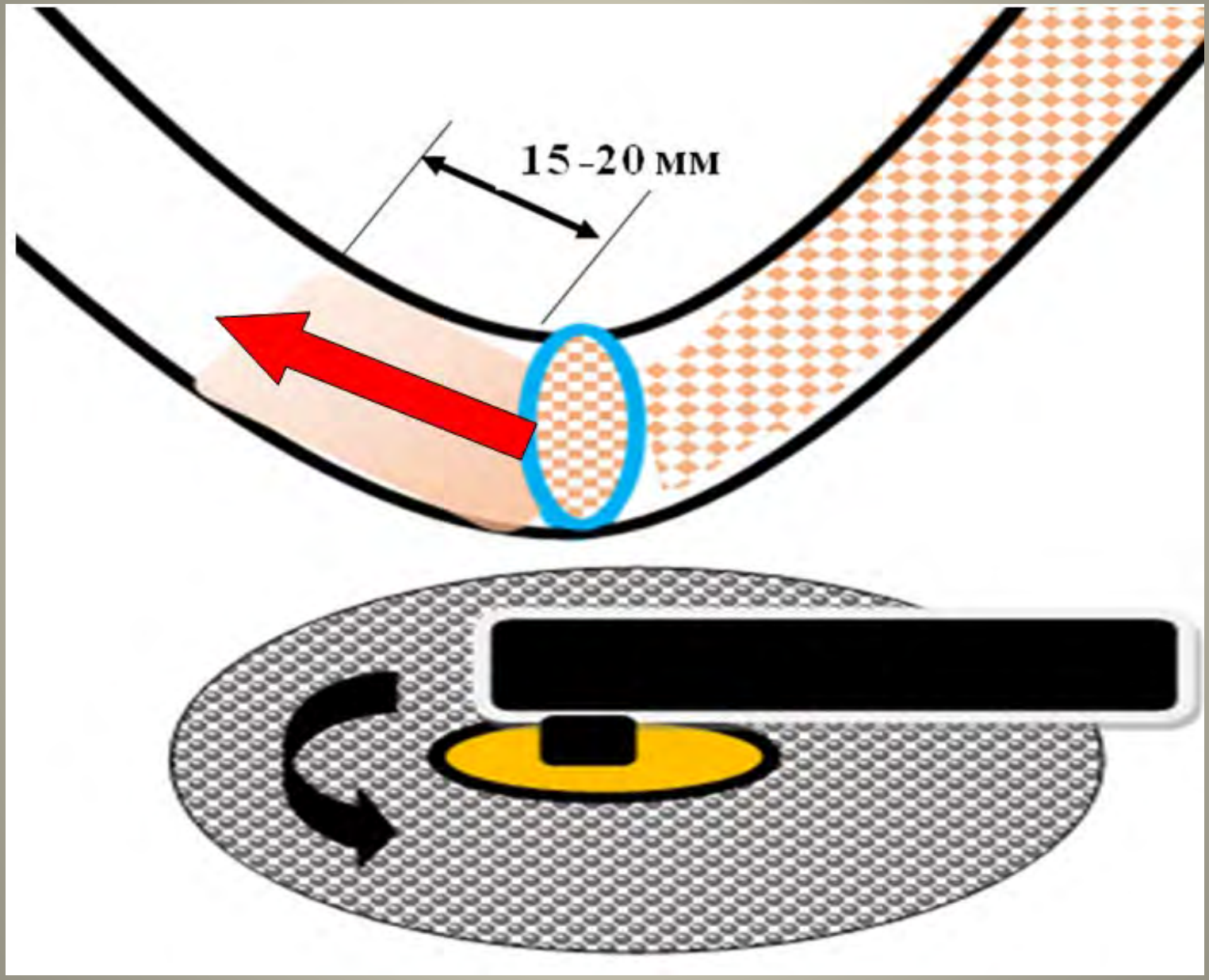
15 -20 мм

Перемещение раствора йода составило достаточно большую величину – 0.7 куб. см или 0.7 мл.

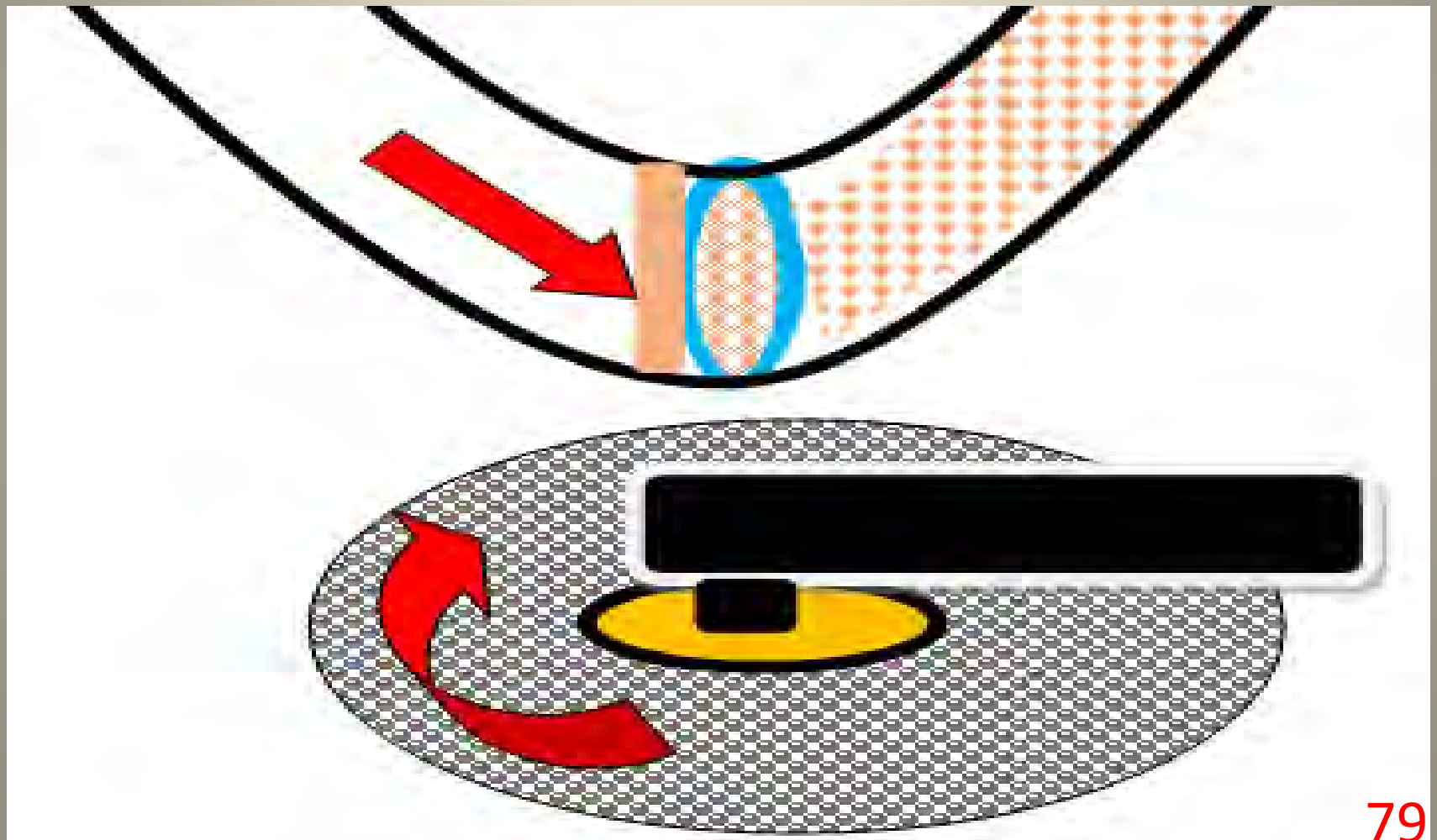

Начало ускоренного вращения диска по часовой стрелке после противоположного вращения

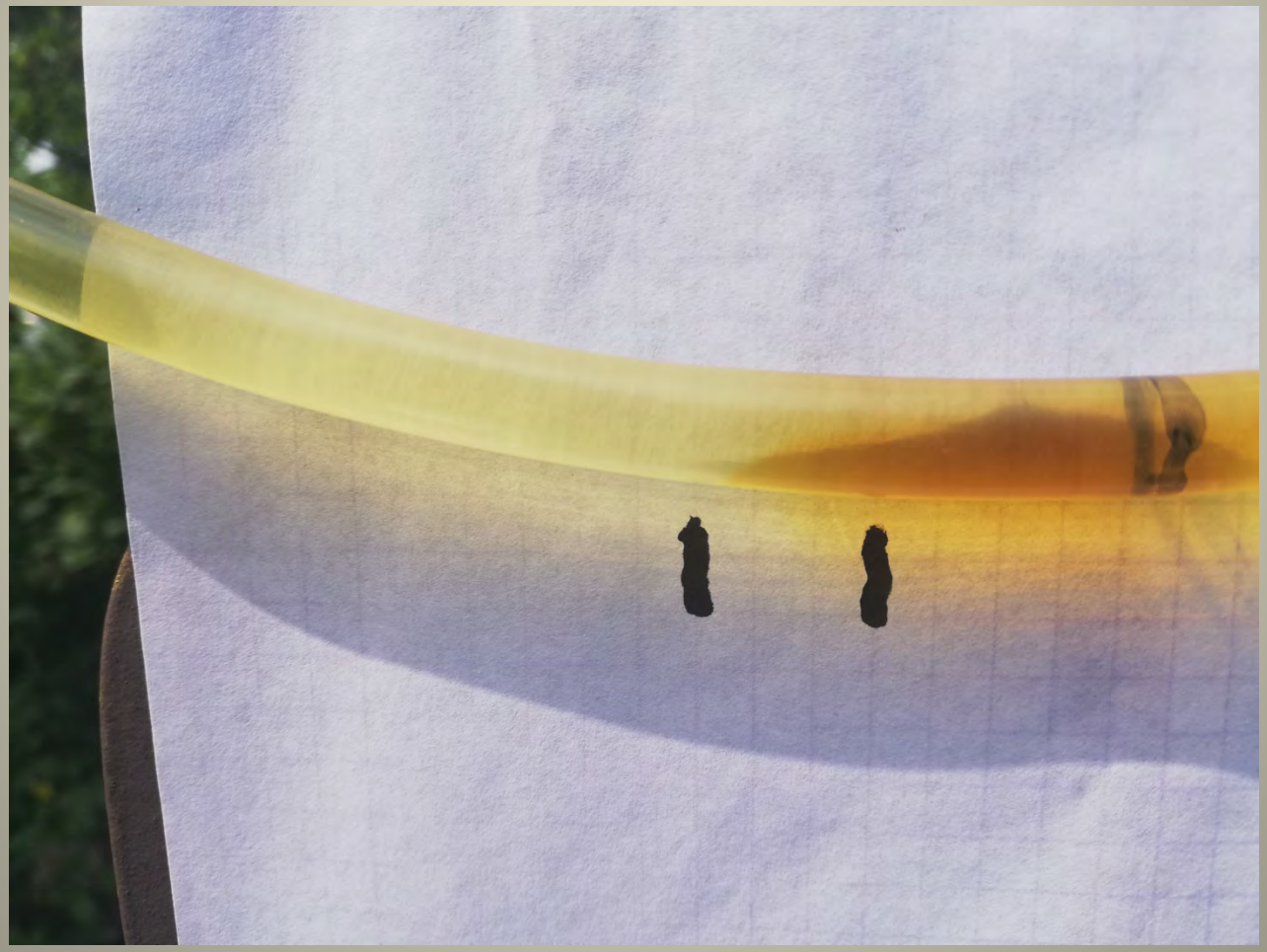

середина

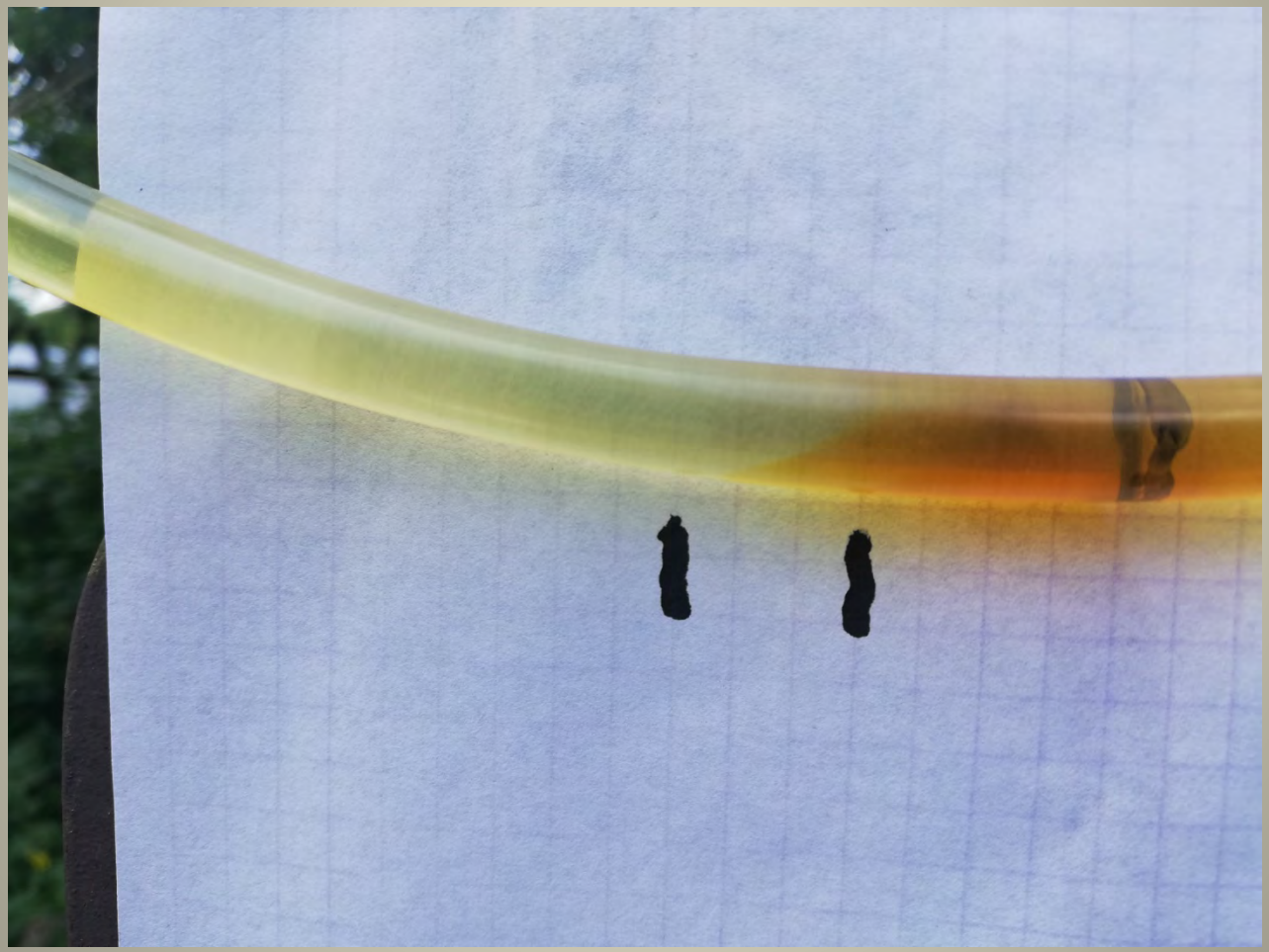

конец процесса.

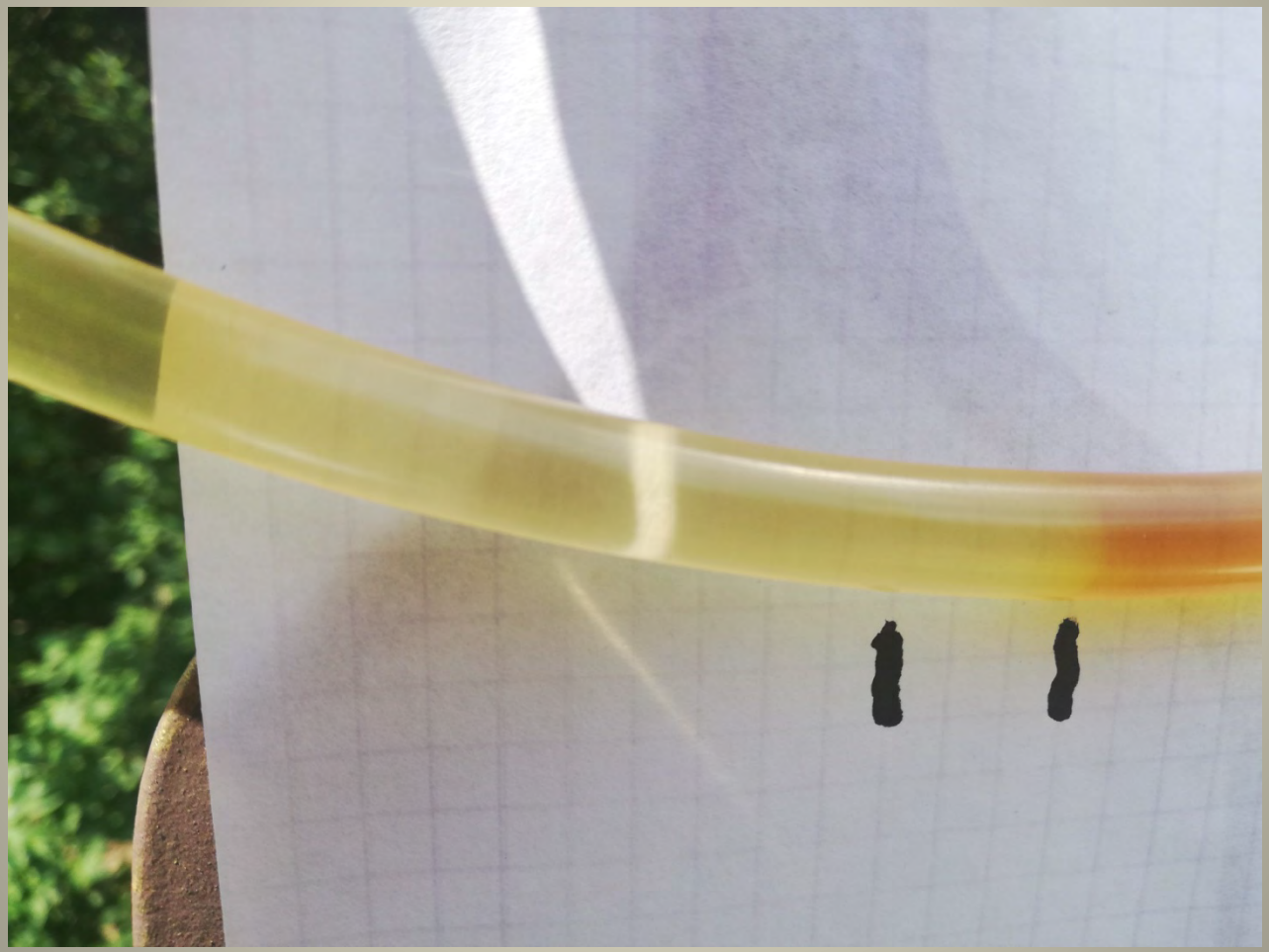

Начало эксперимента. Ускоренное вращение диска = 0

Против часовой стрелки

По часовой

ВЫВОД

Ускоренное вращение тела оказало влияние на движение жидкости в капилляре, что безусловно порадовало автора эксперимента – И.Э. Булыженкова, и первого оценившего этот эксперимент Н.В. Самсоненко, и конечно, нас.

Очень интересная информация

М.В. Ломоносов о массе - частички среды ударяют по поверхностным карпускулам тела, уплотняя его и отскакивают, что определяет плотность и массу тела.

- **Тесла** заявлял, что разработал "альтернативную теорию гравитации", но так и не опубликовал её. По его словам:
- **- Гравитация — это результат взаимодействия эфира с массами.**
- - Электромагнитные волны могут влиять на гравитацию (левитация в сверхпроводимости).

Из сказанного возникает вопрос , если тела поглощают ЭФИР, то почему он не заканчивается?

.

В ФИЛОСОВСКОМ РАЗМЫШЛЕНИИ НУЖНО ОТМЕТИТЬ, ЧТО, ЕСЛИ МЫ РАСХОДУЕМ ЭФИР В ДАННОМ МЕСТЕ, то он должен пополниться из другого места.

Это диалектика развития ВСЕЛЕННОЙ, и темная материя в данном случае получится не такая уж и темная. Именно потому, что ЭФИР постоянно расходуется, для поддержания систем (электронов, протонов, атомов, предметов, живой ткани, планет, звезд, галактик и др.) – ВСЕЛЕННАЯ должна расширяться, пополняясь ЭФИРОМ – новым кавитационным эффектом - пузырьками, или пузырьками «Большого» взрыва , или маленьких ВЗРЫВОВ, которые восполняют израсходованный ЭФИР.

Интерес вызывает связь микро и макромира

Из нашей гипотезы:

В микромире все квантуется, т.е. все идет порционно, тогда из представленной нами гипотезы, ЭФИР тоже должен для пополнения энергии потребляться квантовано.

Но давайте представим, например, кусок глины из протонов и электронов, и частоту, и скорость их квантования. Мы получим непрерывный поток всасывания ЭФИРА в тело через его поверхность.

По-видимому, этим постулатом возможно объединить макро и микромир.

В ПРЕДСТАВЛЕННОЙ РАБОТЕ МЫ СДЕЛАЛИ ПОПЫТКУ ОБЪЯСНИТЬ ЭКСПЕРИМЕНТАЛЬНО НАБЛЮДАЕМОЕ ЯВЛЕНИЕ - ДВИЖЕНИЕ ТОРСИНДА ПРИ УСКОРЕННОМ ВРАЩЕНИИ МАССИВНОГО НЕЗАВИСИМОГО ТЕЛА, линзирование, движение жидкости в капиллярной трубке.

По-видимому, они хорошо вошли в эту парадигму – Вселенная с ЭФИРОМ.

Чтобы подтвердить или опровергнуть все, что было доложено:

Нужны новые эксперименты на более высоком техническом уровне и при хорошем финансировании.

Тогда, при движении тел с мощным ускоренном вращением необходимо вводить поправку.

Пример

$F_H = GMm/R^2$

$\Sigma F_H = F_H + \zeta F_M$

$\Sigma F_H = F_H - \zeta F_M$

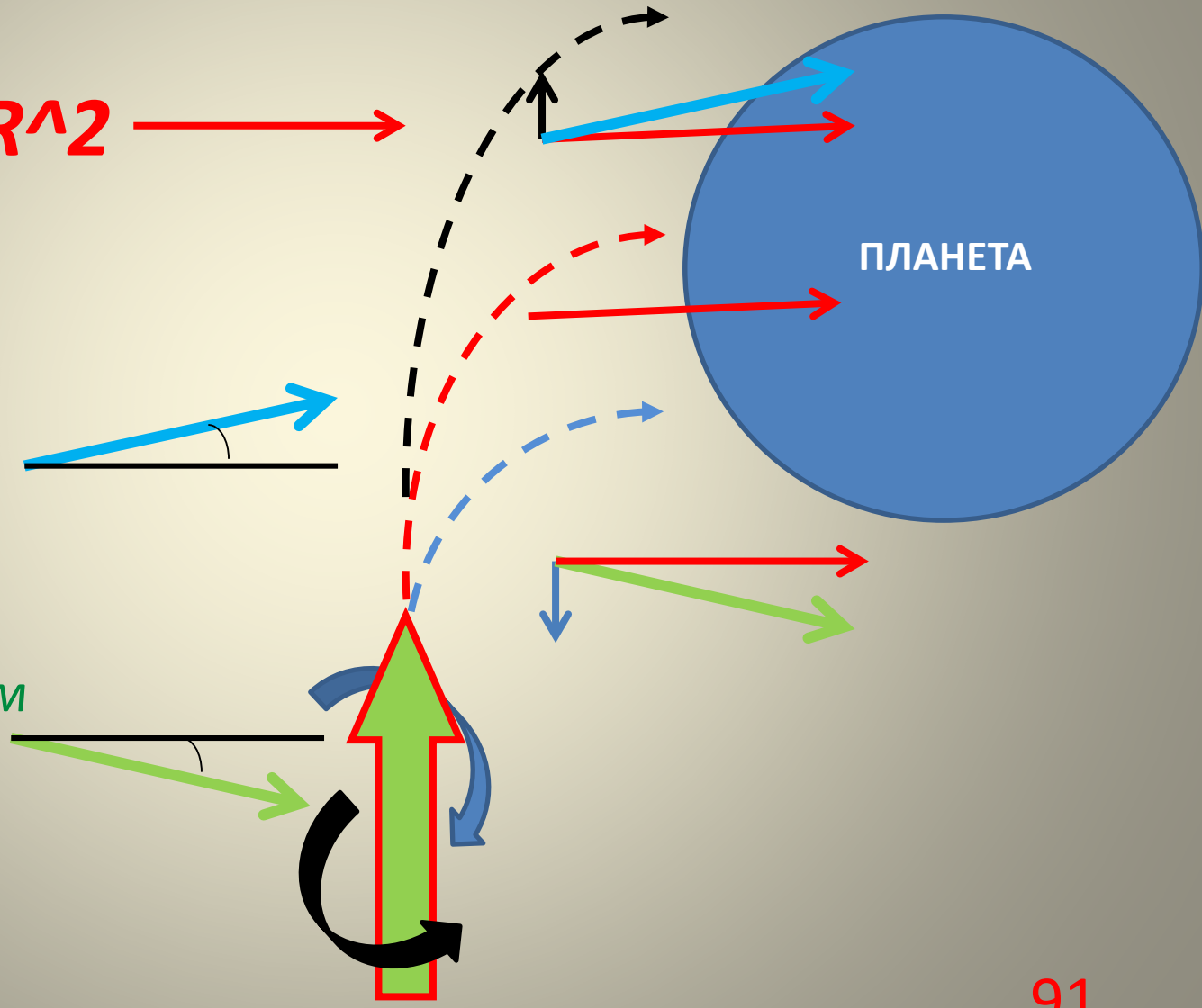

Ускоренное вращение плазмы ШМ отсутствует

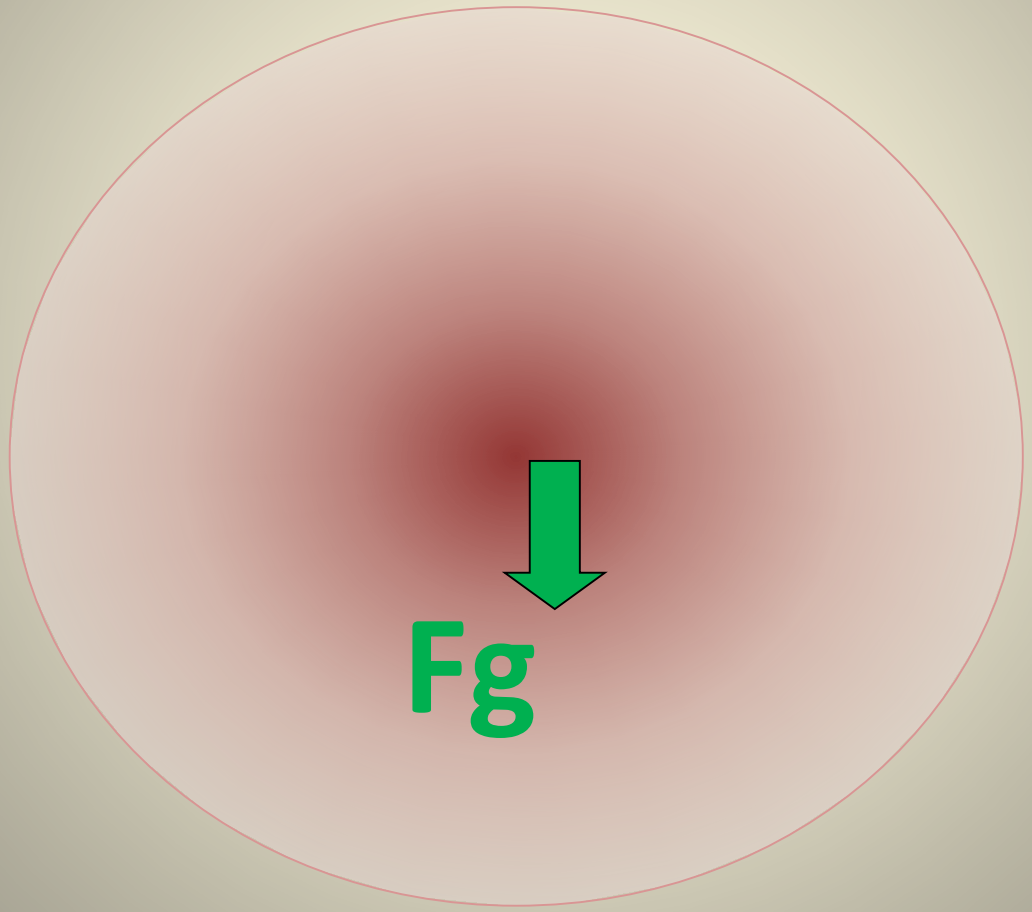

Если **появляется мощное ускоренное вращение массы в плазме ШМ** и вектор **Fm >> Fg** ,то ШМ будет двигаться по направлению или по вектору результирующей силе **ΣF = Fg + Fm**

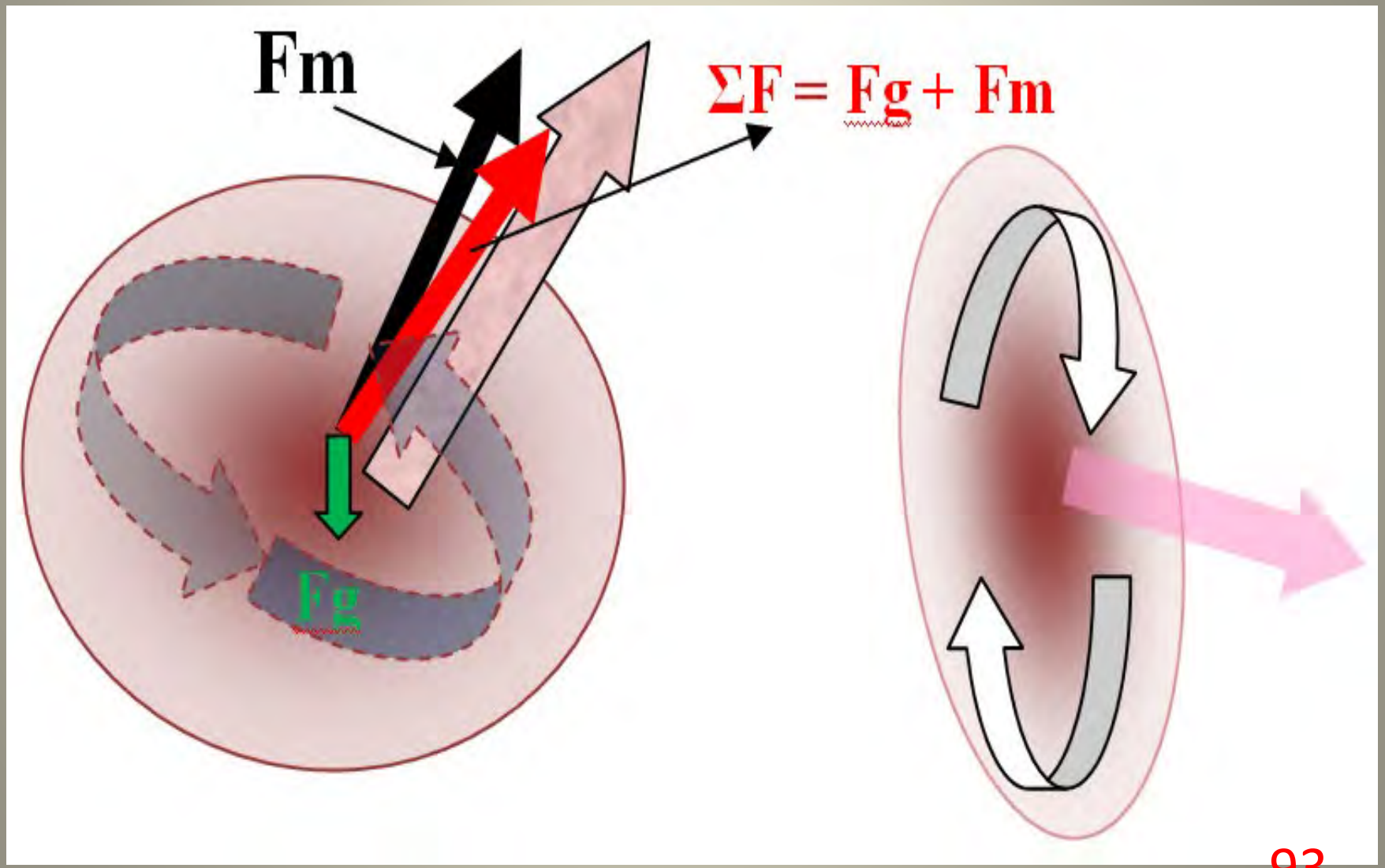

ВЫВОДЫ

1. Проведенные эксперименты по влиянию ускоренного вращения тела на световой поток лазерного луча малой мощности выявило это влияние. Влияние есть, что подтвердило ранее выдвинутую гипотезу о существовании градиента некой среды у поверхности тела, которая издревле называлась эфиром.

Впервые установлено влияние ускоренного вращения тела на световой поток.

2. Впервые установлено влияние ускоренного вращения тела на движение жидкости в капилляре, что может быть использовано в медицинских и других целях.

Идея по проведению эксперимента предложена И.Э. Булыженковым

.

3. Из представленной работы следует - Научившись управлять диффузионным слоем в области ПОВЕРХНОСТИ ТЕЛА – это градиентом ЭФИРа, возможно изменять гравитационное действие данного тела на другие тела.
4. Наличие и возможность изменять градиент ЭФИРА у поверхности тела - позволяет объяснить левитационный полет индийского йога. Человек, силой своей воли (энергии), научившийся создавать условия, влияющие на диффузионный градиент эфира у ПОВЕРХНОСТИ его ТЕЛА , на ЭФИР, что и обеспечило его полет над землей, а также двигать предметы человеческой волей.
5. Как научиться **эффективно** управлять этим диф. слоем ЭФИРА ответа пока нет. Может, это ускоренное вращение мощных, но малоразмерных магнитов или СП магнитов с большим ускорением у поверхности тела или … вопрос отрытый, но ускоренное вращение тела оказывает действие на гравитацию.

Считаем своим приятным долгом выразить искреннюю благодарность Н.В. Самсоненко, В.Н. Зателепину и И.Э. Булыженкову за консультации, критические замечания и обсуждение полученных результатов этой, проведенной нами, экспериментальной работы, которая должна быть продолжена на более высоком уровне.

СПАСИБО за внимание!

НАБЛЮДЕНИЕ ЭФФЕКТА ЛЕБЕДЕВА - ДАВЛЕНИЕ СВЕТА НА ТОРСИНД И НЕОБЫЧНЫЕ СВОЙСТВА ВРАЩАЮЩИХСЯ ТЕЛ

Владимир Александрович Чижов

В.А.Чижов Chijov_va@bk.ru

И.Н. Степанов stepanovigorn@gmail.com

Эксперимент П.Н. Лебедева 1899г подтвердил теорию Д. Максвелла

Д. Клерк Максвелл- 1877 г

Р = *4 10^-6* Н/м2 от Солнца

П.Н. Лебедев- 1899 г

Р = *7,7 10^-6* Па (Н/м2)

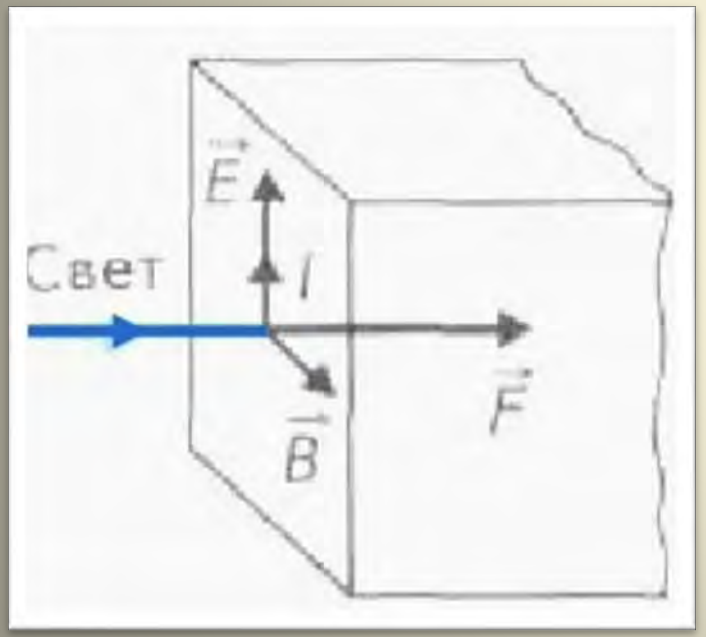

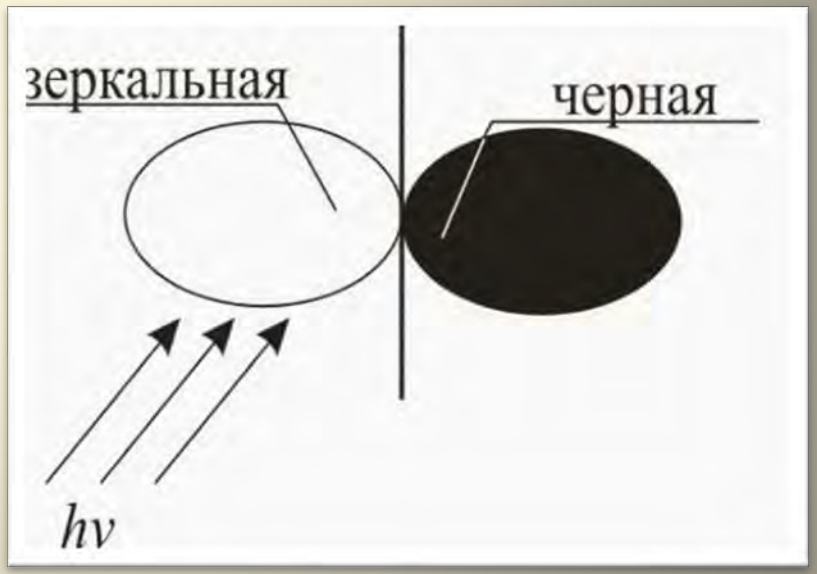

Наш эксперимент Р = атмосферное (1атм)

Световой поток 360 лм 5 Вт

Угол отклонения – (+;-75;80 град)

Мт = 1 10^-8 Н
при
S=3 см2
Тогда
Мт ~10^-4 Н/м2

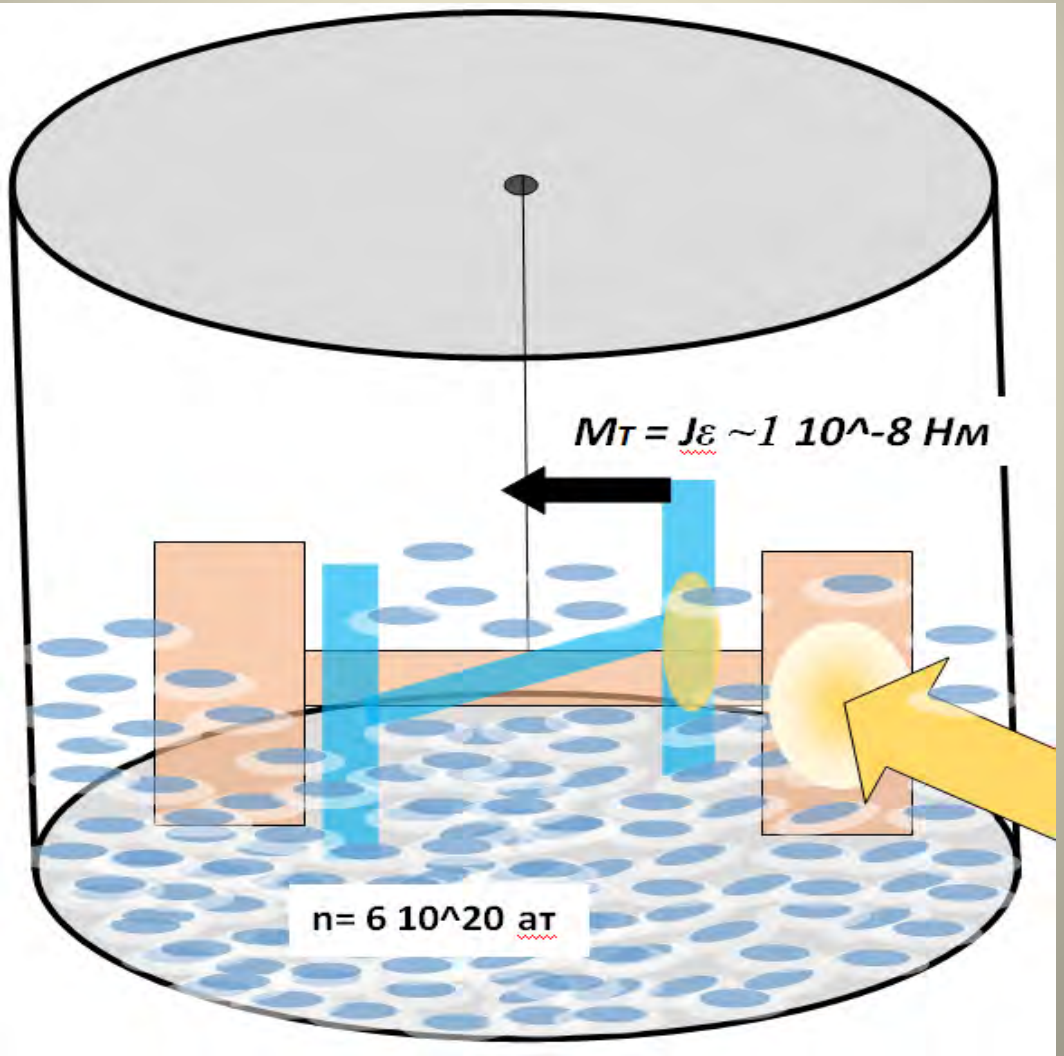

Показать видео

Парадокс - Свет «притягивает» торсинд

Показанное красивое видео со световым потоком, при атмосферном давлении в колбе, является подгонкой под ответ, т.е. не очень правдиво.

На начальном этапе освещения пластинки «Н»-образного торсинда - торсинд начинает двигаться за лучом. Складывается впечатление, что свет притягивает торсинд, **что вызывало недоумение**, а чрез *60 - 90 с* процесс начинал поворачиваться в правильном направлении - торсинд отодвигался от падающего луча света, как и показано на видео.

Сейчас отметим, что данный феномен не повторяется, когда колба вакуумировалась, но об этом позже.

Устранение парадокса «притягивания»

ДАВЛЕНИЕ СВЕТА • Большая российская энциклопедия - электронная версия

Мощным пучком света удаётся сжимать максвелловское распределение по скоростям, убирая из пучка высокоскоростные атомы. Этот поток света направляют навстречу атомному пучку, подбирая при этом частоту и форму спектра излучения так, чтобы давление света тормозило быстрые атомы с большим смещением резонансной частоты.

Резонансное давление света можно использовать для разделения газов: при облучении двухкамерного сосуда, наполненного смесью двух газов, атомы одного из которых находятся в резонансе с излучением, резонансные атомы под действием света перейдут в дальнюю камеру.

Давление 1атм. Угол – 75 – 90 град

Мт ~10^-4 Н/м2

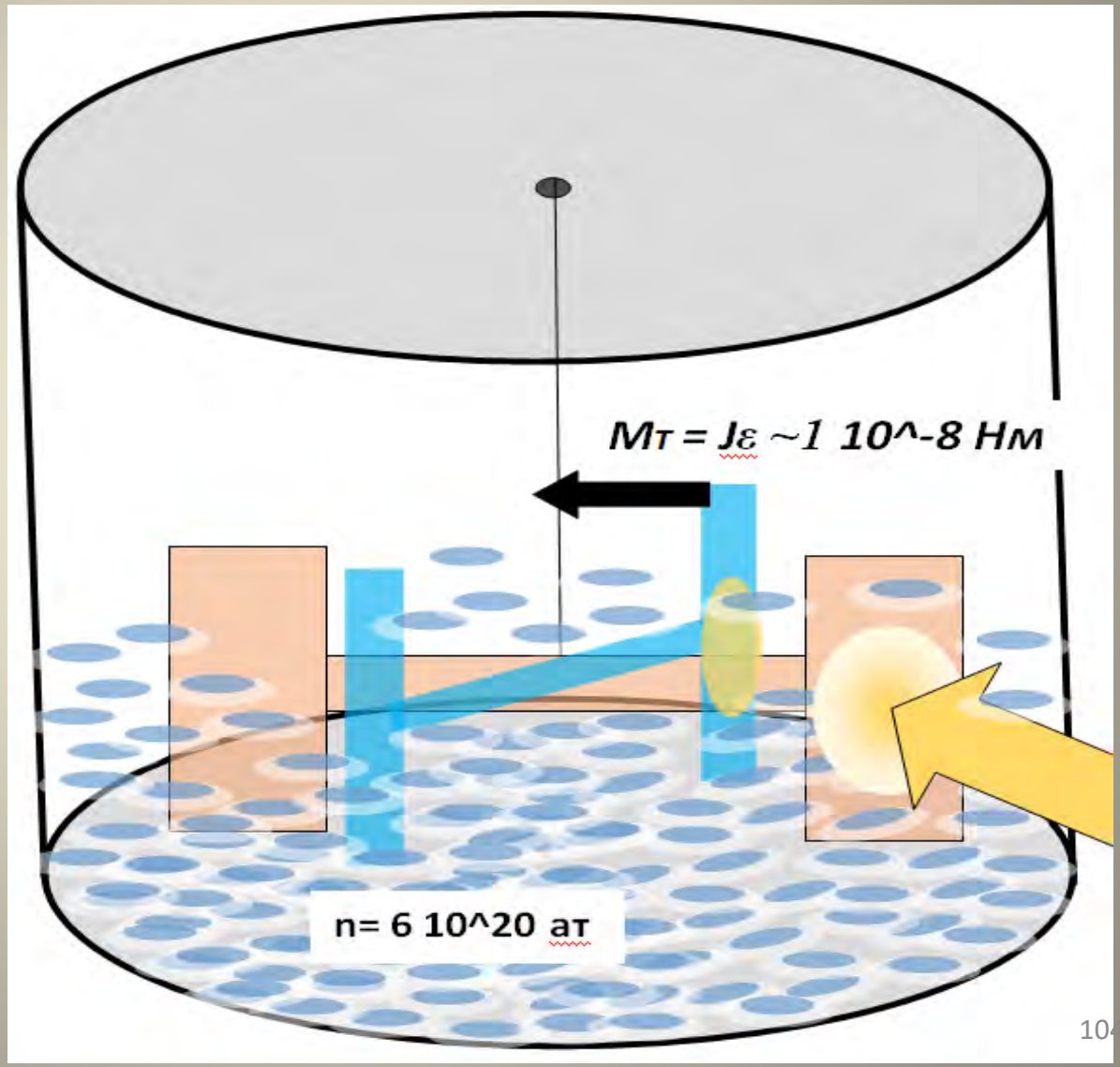

Вакуум 1 10^-3 атм (16 мкм). Угол ~ 15 - 20 град.

Мт = 5 10^-10 Н
при
S=3 см2
Тогда
Мт ~ 2 10^-6 Н/м2

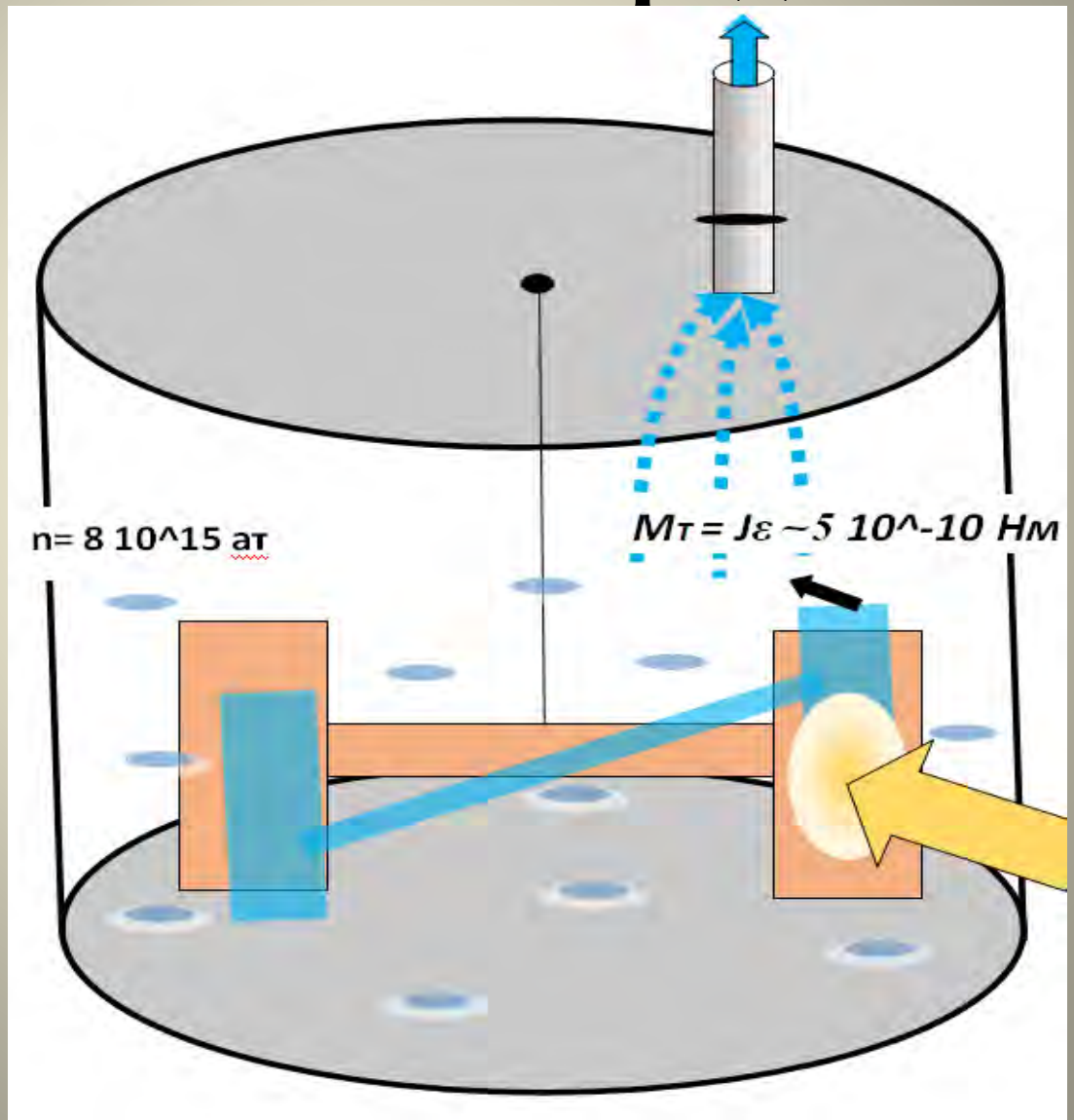

Полученное значение давления света в вакуумной системе имеет хорошую корреляцию с результатами П.Н. Лебедева

$P_{\text{Лебедева}} = 7.7\ 10\text{^-}6\ Н/м2$

$P_{\text{наши дс}} = \sim 2\ 10\text{^-}6\ Н/м2$